

Приводится е-версия монографии Р.П. Селегина «Мера Богов», вышедшей в свет в начале августа 2009 г. в Таганроге в издательстве ООО «Антон», ISBN: 978-5-88040-068-3



## «Мера Богов» Р.П. Селегин

### Аннотация

В монографии показан вывод фундаментальной меры древней допотопной цивилизации. Повествуется о существовании у этой цивилизации высоко-развитой науки, составной частью которой является единая система мер.

Из определенных условий взаимодействия окружности и квадрата выведено фундаментальное циклическое число и фундаментальная пропорция. Окружность и квадрат, в свою очередь, выводятся из первичной Точки на основе воссоздаваемой древнейшей философской парадигмы, отраженной в древних философиях, мифах и монументах мира. Парадигма является основой для космологии и единой пространственно-временной системы мер. Установлено, что пропорция имеет весьма широкое проявление в физике небесных тел. Так, пропорция проявляется в гравитационных постоянных, в циклах небесных тел, показано, в первую очередь, для Земли и Луны. Широта проявления пропорции и высокая ее циклическая стабильность в физике Земли указывают на возможность использования пропорции в качестве основополагающей и универсальной меры. На основе одной лишь этой пропорции при использовании производной от фундаментального циклического числа строится простейшего вида базовая параметрическая модель поля тяготения и формы Земли, параметры которой совпадают с современными данными. Изумительная простота и точность модели могут заменить сложную аппроксимацию Земли сфероидом. На основе этой модели построена геометрия Великой пирамиды Гизы. Показано, что пропорцией пронизан весь пирамидальный комплекс на плато Гизы. Тем самым начато прочтение гизехской каменной книги – уникального справочника по физике. Указан подход для прочтения (расшифровки) всего комплекса. В комплексе выявлено проявление чисел богов (древней расы землян) и триады фундаментальных циклических чисел, данных народам Земли. Из пропорции получен вывод Мегалитического Ярда Александра Тома (Оксфордский университет), выявленный им из обмера мегалитических сооружений каменного века на обширной территории Европы. Фундаментальная пропорция является основной составляющей воссоздаваемой единой системы мер, на основе которой строится теоретическая метрология – наука существующая, но ныне не известная. Сказано о месте теоретической метрологии и современной науки в науке богов. Целью настоящей работы является показать философско-математический вывод основополагающей универсальной меры, не известной для современной науки, и широкий спектр её приложения, а также показать, как объединяются с ней известные меры в рамках теоретической метрологии.

## Оглавление

Глава 1. Вывод фундаментального циклического числа 12 и вывод фундаментальной пропорции $4/\pi$ – Меры Богов (МБ) .....	2
Философские истоки .....	2
Взаимодействие окружности и квадрата .....	3
Общая картина .....	3
Вывод числа 12 .....	4
Вывод пропорции МБ .....	7
Глава 2. Проявление числа 12 .....	10
Глава 3. Проявление МБ в круговых мерах длины, в мегалитических сооружениях Европы, в физике небесных тел и в математике .....	13
Пропорция $4/\pi$ и основные круговые меры .....	13
Мера МБ м и Мегалитический Ярд (МЯ) Александра Тома .....	15
Числовые маркеры МБ .....	16
Проявление пропорции МЯ на окружности и в квадрате .....	16
7-ричный числовой маркер МБ .....	17
Проявление числа 112 .....	17
Андрогинный числовой маркер МБ .....	18
Проявление МБ (МЯ) в земных циклах .....	19
Проявление МБ (МЯ) в прецессии оси Земли .....	19
Проявление МБ (МЯ) в годовом и суточном вращении Земли .....	20
Суточные пропорции МЯ для реальных средних солнечных суток .....	21
Годовые пропорции МЯ для реальных звездных лет .....	21
Гравитационная пропорция МЯ для гравитационной постоянной Гаусса .....	22
Проявление МБ (МЯ) в поле силы тяжести и форме Земли .....	23
Базовая параметрическая модель Земли Богов или основы теории тяготения и формы Земли .....	25
Кратко о некоторых других проявлениях МБ (МЯ) в физических параметрах Земли и Луны .....	28
Математические проявления МБ (МЯ) .....	30
Глава 4. Проявление МБ (МЯ) в Гизехском пирамидальном комплексе .....	32
Базовая математическая модель трех пирамид .....	32
Проявление МБ на плане комплекса 5 объектов .....	33
Большой Сфинкс .....	33
Объект №5 .....	34
Общий план плато Гизы с решеткой $L_1/2 = 115,190568... м$ .....	35
Примеры проявления МБ на плато Гизы .....	36
Гизехский пирамидальный комплекс – уникальный справочник по физике .....	42
Число Тота, число Сешат и число славян .....	43
Триада циклических фундаментальных чисел .....	45
Глава 5. Кратко о Науке Богов .....	46
Приложения 1 и 2 .....	48
Ссылки .....	49

## МЕРА БОГОВ

*Знающий меру – богат.*  
Лао-цзы. «Дао-Дэ цзин», 33 чжан.

### Глава 1. Вывод фундаментального циклического числа 12 и вывод фундаментальной пропорции $\arctg 4/\pi$ – Меры Богов

#### Философские истоки

Из древних учений известно, что первообразами проявления Всевышнего\* являются окружность и квадрат или сфера и куб. Всевышний, проявляясь-дифференцируясь-поляризуясь, вдыхая и выдыхая, порождает эти дуальные образы. Они выражаются двумя не сводимыми друг к другу линиями: линией круглой и линией прямой. Эта геометрическая несводимость характеризуется иррациональным и трансцендентным числом  $\pi = 3,14159265\dots$ . Из дошедших до нас отголосков древней мудрости известно, что круглое – это проявление женского начала, а прямое – мужского. В Египте эти начала назывались *нетрит* и *нетер* [1], в Индии – *тамас* и *раджас*, в Китае – *инь* и *ян*, на Руси – *ха* и *тха*. Именно на такое соответствие линий и начал указывают многочисленные древние мифы (см., например, [2]), священные писания и тайное учение масонов. Философия Египта выражалась через математику. Математизация философии отчетливо проявилась в Китае, и это сохранено до наших дней. Хотя о причинах и механизме появления дуальных начал в последней умалчивается, но результат сотворения мира кратко и верно представлен универсальной космической триадой: *небо, земля и человек*, где *человек* является результатом гармоничного взаимодействия *неба* и *земли*. При этом круг символизирует *небо*, а квадрат *землю*, и в том, что *небо* и *земля* – это соответственно мужское и женское начала, а круг и квадрат представлены соответственно женской и мужской линиями, нет противоречия, напротив, это проявление фундаментальной особенности физики сотворения мира из Всевышнего им самим. Должно быть понятно, что в триаде *небо, землю и человека* нельзя воспринимать лишь буквально. *Небо* – возвышенное, светлое, подвижное, разряженное, наружное, идеальное, *земля* – низменное, темное, покоящееся, твердое, внутреннее, материальное, а *человек* – это срединное целое, рожденное в балансе-равенстве из *неба* и *земли*. Вместе с тем круг символизирует циклически меняющееся время, а квадрат символизирует пространство, что определяет деление поверхности земли на квадраты (см., например, [3, 4]). Как в Восточном, так и в Западном полушарии в основе древней культуры лежала та же неразрывность философии и математики, та же первичность окружности и квадрата. В Месоамерике у майя Творцом мира, Высшим божеством считался *Хунаб Ку*, который изображался в виде единого образа окружности и квадрата с одним центром. Сочетание слов майя «хун», «нааб» и «ку» означает «*тот, кто дает одну меру*». Круг также считался символом духовного начала, а квадрат – материального [5]. Центральными фигурами

\* **Примечание.** Здесь понятие Всевышнего не раскрывается и не показывается проявление из него окружности и квадрата. Это обусловлено большим объемом описания, и одной из причин большого объема является непривычность основополагающих представлений. Описание выделяется в самостоятельный текст «Космология богов». Стоит лишь заметить, что под Всевышним здесь подразумевается исключительно научное понятие, поддающееся в определенном смысле описанию. Религиозное же понятие Всевышнего отличается от научного из-за упрощения и адаптации религиозного понятия под общедоступные представления и наглядные образы, но в религиозном понятии достаточно ясно просматривается его научная основа.

масонского фартука и печати являются циркуль и угольник, они символизируют окружность и квадрат, небо и землю, как и в китайском символизме.

Формализовав первичный результат сотворения мира окружностью и квадратом, круглым и прямым, рассмотрев их взаимодействие, можно получить определенный математический результат в виде пропорции. Поскольку пропорция получается из первообразов Всевышнего, то проявление её должно быть вездесуще, т.е. получаемая пропорция является фундаментальной.

### Взаимодействие окружности и квадрата

**Общая картина.** Равновеликость круга и квадрата возможна по 4 парам их параметров: диаметр ( $D_{\circ}$ ) – сторона ( $L_{\square}$ ), диаметр ( $D_{\circ}$ ) – диагональ ( $D_{\square}$ ), периметр ( $P_{\circ}$ ) – периметр ( $P_{\square}$ ) и площадь ( $S_{\circ}$ ) – площадь ( $S_{\square}$ ). Равновеликость в одной паре однозначно определяет геометрический образ взаимного расположения окружности и квадрата с одним центром и тем самым определяет пропорции остальных пар. Эти условия можно представить в виде матрицы.

$D_{\circ} = L_{\square} :$	$D_{\circ} = D_{\square} :$	$P_{\circ} = P_{\square} :$	$S_{\circ} = S_{\square} :$
$D_{\circ}/L_{\square} = 1$	$D_{\circ}/L_{\square} = \sqrt{2}$	$D_{\circ}/L_{\square} = 4/\pi$	$D_{\circ}/L_{\square} = 2/\sqrt{\pi}$
$D_{\circ}/D_{\square} = 1/\sqrt{2}$	$D_{\circ}/D_{\square} = 1$	$D_{\circ}/D_{\square} = \sqrt{8}/\pi$	$D_{\circ}/D_{\square} = \sqrt{2}/\sqrt{\pi}$
$P_{\circ}/P_{\square} = \pi/4$	$P_{\circ}/P_{\square} = \pi/\sqrt{8}$	$P_{\circ}/P_{\square} = 1$	$P_{\circ}/P_{\square} = \sqrt{\pi}/2$
$S_{\circ}/S_{\square} = \pi/4$	$S_{\circ}/S_{\square} = \pi/2$	$S_{\circ}/S_{\square} = 4/\pi$	$S_{\circ}/S_{\square} = 1$

Условие  $D_{\circ} = L_{\square}$  определяет геометрический образ окружности, вписанной в квадрат, при этом выполняется соотношение  $P_{\circ}/L_{\square} = \pi$ , означающее, что сторона квадрата укладывается в периметре окружности  $\pi$  раз – это аналогично широко известному в формальной математике выражению: диаметр окружности укладывается по её длине  $\pi$  раз. Условие  $D_{\circ} = D_{\square}$  определяет квадрат, вписанный в окружность, а  $P_{\circ} = P_{\square}$  и  $S_{\circ} = S_{\square}$  определяют пересекающиеся линии окружности и квадрата.

Приведенные условия можно представить и в другом виде: 4 окружности для квадрата и 4 квадрата для окружности, как показано на рис. 1.

4 окружности с радиусами  $R_{i\circ}$  для квадрата с  $R_{\square} \equiv L_{\square}/2$  :

1 – вписанная в квадрат:  $R_{1\circ} = 1 \times R_{\square}$ ;

2 – равная по площади:  $R_{2\circ} = 2/\sqrt{\pi} \times R_{\square} = 1,12837916... \times R_{\square}$ ;

3 – равная по периметру:  $R_{3\circ} = 4/\pi \times R_{\square} = 1,27323954... \times R_{\square}$ ;

4 – описывающая квадрат:  $R_{4\circ} = \sqrt{2} \times R_{\square} = 1,41421356... \times R_{\square}$ .

Здесь между радиусами окружностей имеются два интервала (подобно музыкальным интервалам)  $I_1 \equiv 4/\pi = (2/\sqrt{\pi})^2 = 1,27323954... = (1,12837916...)^2$  и  $I_2 \equiv \pi/\sqrt{8} = 1,110720735...$ , а именно  $R_{2\circ}/R_{1\circ} = \sqrt{I_1}$ ,  $R_{3\circ}/R_{2\circ} = \sqrt{I_1}$ ,  $R_{4\circ}/R_{3\circ} = I_2$ .

Используя полученные радиусы на вертикальной и горизонтальной линиях как катеты прямоугольных треугольников, можно построить 5 различных треугольников:

$R_4/R_1 = \sqrt{2} = 1,41421356... = \text{tg } 54,7356103^\circ... - \Delta \sqrt{1} : \sqrt{2} : \sqrt{3}$  ( $\Delta$  тел Платона, см.

Приложение 2);

$R_4/R_2 = \sqrt{\pi}/\sqrt{2} = 1,253314137... = \text{tg } 51,4141739^\circ... - \Delta \sqrt{2} : \sqrt{\pi} : \sqrt{2+\pi}$ ;

$R_4/R_3 = \pi/\sqrt{8} = 1,11072073... = \text{tg } 48,0027760^\circ... - \Delta \sqrt{8} : \pi : \sqrt{8+\pi^2}$  ( $\Delta$  ребра 1-ой, см.

ниже);

$R_3/R_1 = 4/\pi = 1,27323954\dots = \text{tg } 51,8539740^\circ\dots - \Delta\pi : 4 : \sqrt{16 + \pi^2}$  ( $\Delta$  апофемы 1-ой, см. ниже);

$R_3/R_2 = 2/\sqrt{\pi} = 1,12837916\dots = \text{tg } 48,4517737^\circ\dots - \text{это } \Delta\sqrt{\pi} : 2 : \sqrt{4 + \pi}$   
 (под 1-ой подразумевается Великая пирамида на плато Гизы).

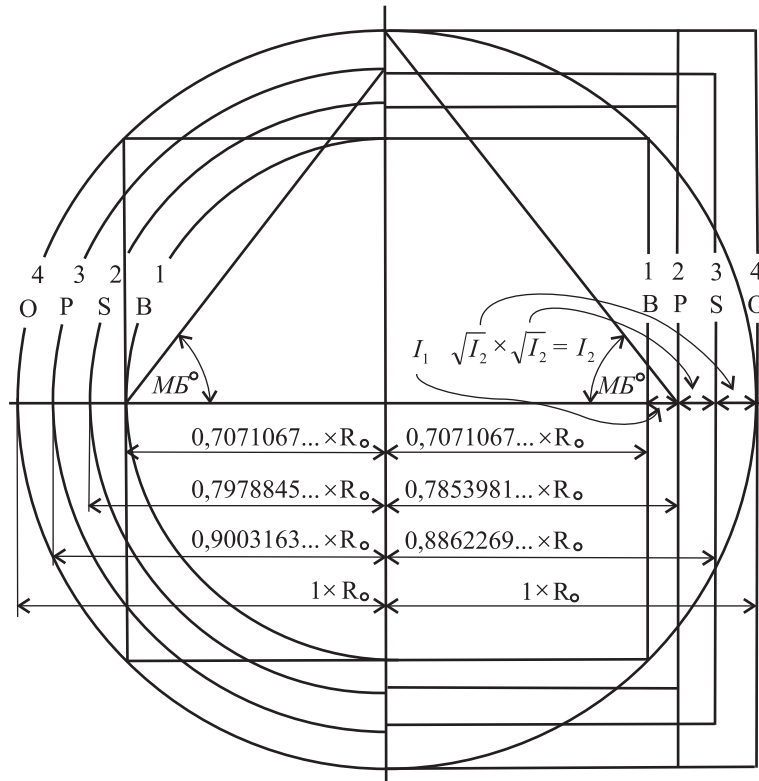


Рис. 1

4 квадрата для окружности:

1 – вписанный в окружность:  $R_{1\Box} = 1/\sqrt{2} \times R_0 = 0,70710678\dots \times R_0$  ;

2 – равный по периметру:  $R_{2\Box} = \pi/4 \times R_0 = 0,78539816\dots \times R_0$  ;

3 – равный по площади:  $R_{3\Box} = \sqrt{\pi}/2 \times R_0 = 0,88622692\dots \times R_0$  ;

4 – описывающий окружность:  $R_{4\Box} = 1 \times R_0$  .

Здесь между  $R_{i\Box}$  имеются те же два интервала:  $R_{2\Box}/R_{1\Box} = I_2$ ,  $R_{3\Box}/R_{2\Box} = \sqrt{I_1}$ ,  $R_{4\Box}/R_{3\Box} = \sqrt{I_1}$ . И  $R_{i\Box}$  на вертикальной и горизонтальной линиях дают те же 5 треугольников, описанные выше для 4 окружностей. На рис. 1 показан один из пяти треугольников, а именно  $\Delta\pi : 4 : \sqrt{16 + \pi^2}$ , с углом при меньшем катете, равным  $51,8539740^\circ\dots \equiv MB^0$ .

Такова общая картина пропорций по равенности параметров круга и квадрата. Чтобы перейти к предмету повествования, необходимо сузить эту картину. Критерию взаимодействия круглой и прямой линий непосредственно не соответствует равенство площадей круга и квадрата, поэтому это условие здесь рассматриваться не будет. Значит, не будет рассматриваться окружность с  $R_{2\Box}$  и квадрат с  $R_{3\Box}$ , тогда два равных интервала  $\sqrt{I_1}$  и  $\sqrt{I_1}$  объединяются в один:  $I_1 = \sqrt{I_1} \times \sqrt{I_1} = 4/\pi$ . Осталось три условия, в которых непосредственно взаимодействуют линии женского и мужского начал. О них подробнее.

**Вывод числа 12.** Помимо критерия взаимодействия круглой линии и прямой используется ещё и критерий равенства их параметров. Равенство в дуальной паре выражается простейшей первородной пропорцией, равной **1**, которая отражает понятия целостности и единственности, принципа дуальной целостности. Хотя за основу

настоящего рассмотрения взят геометрический подход, следует учитывать, что Всевышний не только Великий Геометр, но и прежде Великий Логик-Философ, что в совокупности даёт ему имя Великий Физик. Равенство расстояний в рассматриваемой геометрии не лишено физического смысла. Равенство длин есть отражение явления резонанса колебаний, которое происходит при равенстве их частот ( $f$ ), частота же связана с длиной волны ( $\lambda$ ), а это уже пространственный, геометрический параметр. Связь  $f$  и  $\lambda$  для всех волн выражается известной формулой скорости распространения волны  $c = \lambda \times f$ . При равенстве частот двух колебаний происходит резкое повышение амплитуды колебания, т.е. резко происходит накачка энергии колебания. Таким образом, критерий равенства во взаимодействии окружности и квадрата отображает резонанс энергетического взаимодействия. Следует заметить, что рассмотрение явлений только лишь через формальный геометрический аспект таит в себе опасность ухода в схоластику, начетничество, что впоследствии приводит к такому тотально пагубному явлению, как воинствующий материализм. Такое устремление к формализации имеет естественное происхождение, поскольку первоначальной проявлением Всевышнего являются линии и числа, т.е. формы. Однако всё разнообразие явлений формальной математики тождественно не соответствует всему разнообразию реальных физических явлений, поэтому из формальной математики необходимо делать выборки. И есть только один критерий для этих выборок – Всевышний с законами сотворения или физика сотворения мира.

Рассмотрим критерий равенства расстояний между двумя точками, т.е. рассмотрим подробнее из трех оставшихся условий два:  $D_{\circ} = L_{\square}$  и  $D_{\circ} = D_{\square}$ , которые соответствуют двум образам: окружность, вписанная в квадрат, и квадрат, вписанный в окружность.

Геометрия квадрата определяется положением 4 точек. Есть лишь 2 варианта соединения их прямыми линиями:

- 1 – соединение соседних прилежащих точек,
- 2 – соединение удаленных противоположных точек.

Вариант 1 даёт квадрат, являющийся, как и окружность, замкнутым контуром.

Вариант 2 дает прямой крест (замкнутый контур отсутствует). Крест является основополагающим физическим явлением, и феномен креста целесообразно рассматривать не здесь, а в «Космологии богов». Несмотря на фундаментальность креста, ему в современной физике уделяется малозаметное место, зато большое внимание кресту уделяется в религиях, являющихся более непосредственными преемниками науки богов, чем современная наука. Но и современные носители религий утратили знание происхождения креста.

Таким образом, для рассмотрения остаётся 1-ое условие из двух названных. Для этого условия имеется равенство двух расстояний: в окружности – расстояние между двумя противоположными точками окружности, называемое диаметром, и в квадрате – расстояние между двумя соседними точками, называемое стороной. И здесь проявляется принцип дуальной целостности: приравниваются расстояния между противоположными и соседними точками. Становится ясным, что диаметр окружности и сторона квадрата не являются тождественными понятиями, поэтому-то выше, говоря о пропорции  $\pi$ , указывалось на отношение диаметра окружности к ее длине, лишь как на аналогию отношения между стороной квадрата и диаметром окружности.

Итак, выбрана окружность, вписанная в квадрат. Окружность и квадрат имеют 4 общие точки в местах касания и ещё одну общую точку – центр. Соединение прямыми линиями противоположных точек из четырёх даёт крест, а центр делит эти прямые на две равные части, т.е. образовалось 4 радиуса и, соответственно, 4 равных дуги окружности. Вернее, 4 радиуса, 4 дуги и 5 точек существуют сразу, как только появляется образ «окружность вписана в квадрат», и радиусы с дугами определяют друг друга. Радиус – это прямая линия, мужское начало, четверть дуги – это округлая линия, женское начало, но радиус и дуга помимо противоположности имеют единство, общее: и то и другое суть линия. Настал момент вспомнить ещё одну древнюю мудрость: нечетные числа имеют

мужское начало, а чётные имеют женское начало. Это стало известно, в частности, от пифагорийцев, а к ним знание пришло из Египта. Известно, что Пифагор 22 года учился у жрецов в Египте. Однако среди сведений по древним мировым культурам не удалось найти упоминаний о том, как соотносятся между собой линия и число. И это не менее важное знание, чем знание женского и мужского начал для линий и для чисел. Для дальнейшего рассмотрения взаимодействия окружности и квадрата необходимо кратко отметить то, какими именно началами являются линия и число в образе. Обстоятельное же и подробное описание этого делается в «Космологии богов».

Геометрический образ определяется двумя составляющими: линией и числом. Не измеренная линия (линия без числа) воспринимается интуитивно, соотносится с иррациональностью, статичностью, определяет характер образа, т.е. линия имеет женское начало. Число же даёт количественную характеристику линии и образа в целом, отражает рациональную сторону образа, изменение числа в линии, придает линии динамику, т.е. число имеет мужское начало. В результате геометрический образ можно структурировать по женскому и мужскому началам, как это показано на рис. 2.

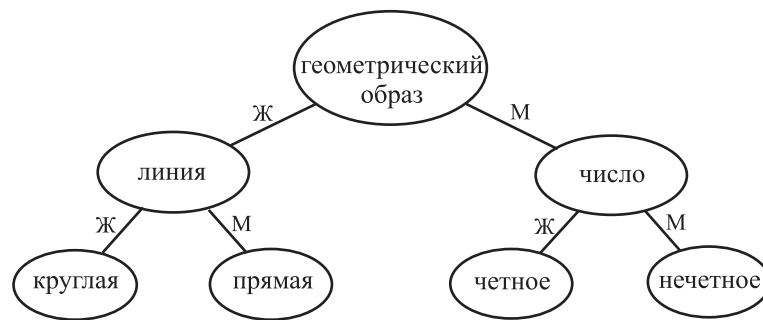


Рис. 2

Примеры. Отрезок прямой имеет мужское начало – это прямая линия, а также имеет женское начало – это 2 точки на концах отрезка. Мужское начало линии и женское начало числа образуют целостный самостоятельный образ – отрезок прямой. Это проявление принципа дуальной целостности. Окружность имеет женское начало – это округлая линия, и имеет мужское начало в числе – это 1 точка начала и конца окружности, а расположение трех точек однозначно определяет окружность. И окружность является целостным самостоятельным образом, и здесь проявляется принцип дуальной целостности. Можно привести пример образа, не имеющего дуальной целостности. Таким примером является треугольник, ведь линии в нем прямые и число их 3, т.е. имеется два мужских начала. Это образ не самостоятельный, он является составной частью. Таким образом, кратко отмечены основы дуального анализа.

Вернемся к окружности, вписанной в квадрат, и произведем действия, которые можно проследить по рис. 3.

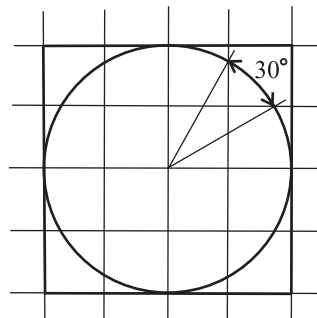


Рис. 3

Разделим имеющиеся 4 радиуса на 2 равные части. Это придает радиусу числовое женское начало – число 2. Рассмотрим, как эта точка деления радиуса будет взаимодействовать с окружностью. Проведем через точки деления прямые, параллельные



радиусам, тогда изначальный квадрат разделится на 16 равных квадратов. Прямые же пересекут окружность и поделят каждую четверть дуги на 3 части, а всю окружность на 12 частей (формула: 4 по 3). Деление радиусов на 2 части отобразилось делением дуги на 3 части, и примечательно то, что эти 3 части равные. Таким образом, квадратная сетка со стороной ячейки  $L_{ячейки} = 1/2 \times R_{\circ}$ , узел которой совпадает с центром окружности, делит окружность на 12 равных дуг. В результате получено: 2 равные части радиуса дают 3 равные части дуги или женское числовое начало на прямой отображается мужским числовым началом на круглой линии, т.е. здесь проявляется принцип креста с взаимодействием двух дуад, смотреть на рис. 4.

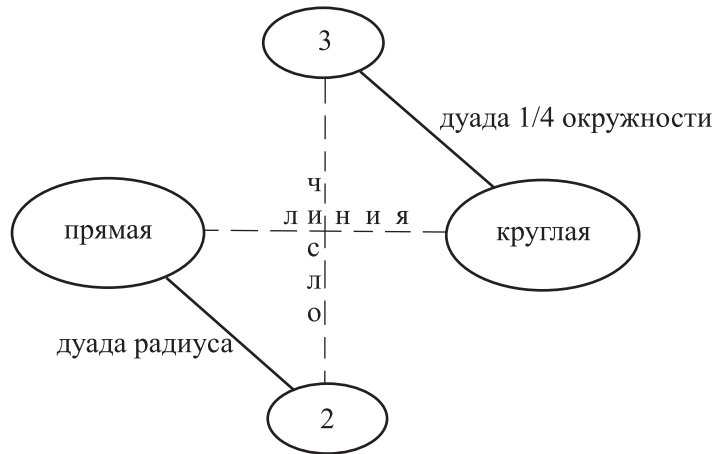


Рис. 4

Следует заметить, что дальнейшее деление радиуса на равные части, на 3, 4, 5, 6 и т.д., не дает деления окружности на равные части.

Выше показано получение числа 12 геометрическим путем, но число 12 можно получить и арифметически. Число 3 определяет окружность, число 4 – квадрат, а их взаимодействие дает число 12, а именно  $3 \times 4 = 12$ .

Как уже отмечалось выше в «Философских истоках», окружность отображает циклически меняющееся время, поэтому для гармонизации счисления времени с природными явлениями, с законами Всевышнего следует временные циклы делить на 12 равных частей. При этом следует учитывать, что изначально при совмещении окружности и квадрата имеет место деление окружности на 4 равные дуги, а затем уже каждая из них делится на 3 равные части. Простой и наглядный пример: 4 времени года – весна, лето, осень и зима, и в каждом по 3 месяца.

Таким образом, из равенства двух расстояний для двух пар точек окружности и квадрата, выражаемого равенством  $D_{\circ} = L_{\square}$ , получен вывод фундаментального циклического числа 12. Деление небесных циклов на 12 равных частей пришло к нам из глубокой древности, но знание происхождения такого деления утрачено. Как видно из описанного, знания науки богов можно восстанавливать.

**Вывод пропорции Меры Богов.** Осталось рассмотреть ещё одно условие равенства. Это равенство длин собственно самих линий, округлой и прямой, т.е. равенство периметров круга и квадрата, т.е. равенство длины кругового контура и квадратного. Геометрический образ для этого условия показан на рис. 5а.

В этом случае отношение радиуса окружности к полустороне квадрата (к радиусу квадрата) выражается пропорцией  $R_{\circ}/R_{\square} = 4/\pi = 1,27323954\dots$ . Если соединить крайние точки радиусов окружности и квадрата, то получится прямоугольный треугольник  $\Delta \pi : 4 : \sqrt{16 + \pi^2}$  с углом при крайней точке радиуса квадрата  $\angle \beta_1 = \arctg \pi / 4 = 51,8539740\dots$  и углом при крайней точке радиуса окружности  $\angle \gamma_1 = \arctg \pi / 4 = 38,1460259\dots$ . Поскольку квадрат отображает землю (материальное), а

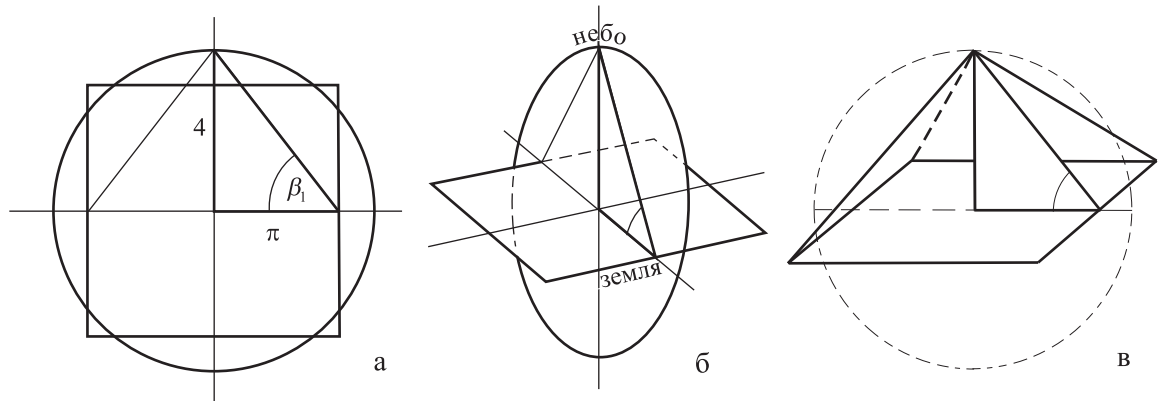


Рис. 5

окружность отображает небо (идеальное), то окружность и квадрат должны находиться в противостоянии и при этом быть неразрывно связаны. Такие условия можно достичь, если квадрат оставить в горизонтальной плоскости, оставить лежать на земле, а окружности придать противоположную ориентацию, т.е. поднять в вертикальное положение плоскость окружности. При этом диаметр квадрата и диаметр окружности остаются совмещенными в одну осевую линию. Назовем  $\Delta\pi : 4 : \sqrt{16 + \pi^2}$  треугольником неба и земли (sky and earth)  $\equiv \Delta SE$ . Полученный образ показан на рис. 5б. Вместе с окружностью в вертикальном положении оказывается и  $\Delta SE$ . Поднятие окружности можно интерпретировать, как отталкивание-разбегание противоположностей, а поскольку квадрат зафиксирован на земле, то окружность в вертикальном положении занимает положение устойчивого равновесия. Плоскость квадрата и плоскость окружности в сечении образуют крест. Понятно, что окружность можно поднять и из середины соседней стороны квадрата. Тогда в вертикальном положении оказывается ещё одна окружность с треугольником, плоскость которой образует с плоскостью первой окружности в сечении крест. Теперь если угловые точки квадрата соединить с вершиной «неба», то получится образ, называемый пирамидой. Смотреть рис. 5в. В пирамиде остались только квадрат и треугольники, а окружность-небо лишь незримо присутствует в ней, как и положено идеальному. Но от идеального остался и его материальный носитель –  $\Delta SE$ . Этот треугольник является сердцевинной полученной пирамиды.  $\Delta SE$  соединяет небо и землю, определяет связь между ними. Малый катет лежит на земле, а большой катет и гипотенуза устремлены к небу. Катеты и прямой угол между ними – это атрибуты креста. В треугольнике осталось два угла. Нижний угол – материальный, т.к. исходит от квадрата-земли, а верхний угол – идеальный, т.к. исходит от окружности-неба. Нижний угол заключён между земным катетом и небесной гипотенузой, т.е. угол образован сторонами, отражающими в себе противоположные начала, но при этом он принадлежит земле, материальному. Поскольку  $\Delta SE$  получен из взаимодействия первообразов Всевышнего (окружность и квадрат), то  $\Delta SE$  является фундаментальным, и его пропорции должны проявляться во всём сущем. Вид треугольника определяется его углами, значит, именно углы должны иметь своё проявление. Нижний угол – угол материальный, т.е. он должен проявляться в явлениях материальной стороны мира, той стороны, которая описывается языком математики, языком богов. При этом всегда важно помнить, что формальной математики и материи в природе изначально как таковых не существует, это лишь тени, отображения, проекции разворачивающегося Содержания, разворачивающегося Всевышнего. Это всегда должна помнить наука, а, скажем, кухарке от этого знания больше вреда, чем пользы.

Рассмотрим материальный угол  $\Delta SE - \angle\beta_1$ . Поскольку этот угол образован нижним катетом с женским началом и гипотенузой с мужским началом, то аллегорически можно сказать, что  $\angle\beta_1$  есть результат взаимодействия женщины и мужчины, слияния их в единстве. (Следует заметить, что это не просто аллегория, мужчина и женщина несут в себе отпечаток первородной геометрии и арифметики. Все на это смотрят, но не все это

видят. Хотя язык и аллегоричен, но он позволяет указать на физическую суть явления.) Но это ещё не ребенок, это только их любовь-притяжение, ведь  $\angle\beta_1$  ещё не достаточно материализовался. Итак, имеется тройца: мать, отец и их взаимодействие. Им можно привести много в той или иной степени аналогичных троиц: инь, ян и цзы; отец, сын и святой дух; бог, сатана и их борьба; тезис, антитезис и синтез и т.д. Из взаимодействия матери и отца должен получиться ребенок, т.е. любовь должна материализоваться и третий элемент должен стать столь же материальным, как и первые два. Это значит, что пропорция  $\angle\beta_1$  должна наполниться длиной, стать линией. Пропорцию  $\angle\beta_1 = 51,8539740\dots$  обозначим *МБ* (мера богов) или *MG* (the gods' measure), которая является определенной долей окружности ( $51,8539740^\circ\dots = \arctg 4/\pi$ ) с делением окружности на 360 частей – угловых градусов =  $12 \times 30$ , т.е.  $МБ \equiv 51,8539740\dots$  (Следует заметить, что деление окружности на 360 равных частей есть величайшая мудрость, пришедшая из древности. Наука может многое забыть или в угоду прихоти людской поменять, но только не это бесценное сокровище богов!) Тогда тройца должна превратиться в триаду: мать, отец и ребенок. Квадрат характеризуется пропорцией  $\sqrt{2}$ , окружность – пропорцией  $\pi$ , а  $\angle\beta_1$  – пропорцией *МБ*. Найдем их общую пропорцию:  $\sqrt{2} \times \pi \times МБ = 1,41421356\dots \times 3,14159265\dots \times 51,8539740\dots = 230,381136\dots$  и «наполним» полученную пропорцию древней и тайной единицей длины – *метр*. (О том, что *метр* является древней и тайной мерой длины, смотреть, например, в работе [6, с. 320, 322].) В результате получим длину, равную 230,381136... *метрам*. Положим эту триаду, выраженную в *метрах*, в основу полученной пирамиды и тогда получим одно из чудес света – Великую пирамиду на плато Гизы. Следует обратить внимание на произведенное преобразование: в величине  $51,8539740\dots \times 1^\circ$  сделана замена  $1^\circ$  на  $1 м$ , что дало меру длины  $51,8539740\dots \times 1 м \equiv МБ м$ . Обозначим длину основания полученной пирамиды  $L_{\text{базовая}}$ . Наиболее точными измерениями сторон основания Великой пирамиды (ВП), т.е. расстояний между угловыми камнями ВП, признаны измерения профессионального геодезиста Коула [6, с. 446]. Длина сторон от Коула:

западная сторона: 230,35772 м,  
северная сторона: 230,25125 м,  
восточная сторона: 230,39048 м,  
южная сторона: 230,45327 м.

Откуда среднее значение длины основания ВП  $L_{\text{средн.}} = 230,36318 м$ , что лишь на 17,9564... мм меньше, чем  $L_{\text{базовая}}$ . Сравнение по углу наклона апофемы более затруднено из-за отсутствия точных измерений. По общепризнанным измерениям Уильяма Мэтью Флиндерса Петри наклон северной грани ВП составляет  $51,8(4)^\circ + 0,0180(5)^\circ$ . По предположению Ф. Петри грани ВП имеют разный наклон, но эти различия малы [6, с. 446-448 и 7, с. 344]. Значение  $\angle\beta_1$  близко к значениям углов наклона от Ф. Петри. Следует заметить, что исследователями ВП уже не раз высказывалось предположение о происхождении угла наклона апофемы ВП от числа  $\pi$ , от так называемой квадратуры круга, но не более того.

Таким образом, получен вывод фундаментальной пропорции *МБ* и вывод базовой модели ВП, в основе которой лежит только *МБ* и *метр*. Как видно, со значением *МБ* имеется полная ясность. Про *метр* этого сказать нельзя, ведь не могли же боги пользоваться ныне используемой длиной *метра*, тем более той, которая основана на ошибочно измеренной длине земного меридиана (если уж фактически определялась 10-миллионная доля четверти меридиана, хотя, возможно, при этом в уме держалась длина секундного маятника, чуть меньшая определяемой). Тем не менее, приведём значения параметров базовой модели ВП, имея в виду используемое ныне значение *метра* (интуитивно угаданное и ошибочно измеренное), за неимением его научно обоснованного,

реального значения. Смотреть в Приложении 1. Понятно, что значения пропорций абсолютны, и их можно умножать на иные значения *метра*.

Вывод числа 12 связан с выводом пропорции *МБ* через пропорцию  $4/\pi = tg MB^\circ$ . Из условия  $D_\circ = L_\square$  следует  $P_\circ/P_\square = \pi/4$ , а из условия  $P_\circ = P_\square$  следует  $D_\circ/L_\square = 4/\pi$ . Поэтому вполне ожидаемо совместное проявление числа 12 и пропорции *МБ* в циклах.

Число 12 с определенной точностью можно выразить через пропорцию *МБ* и другие значимые пропорции:

$$12 \approx \frac{MB \times 2 \times 10^4}{86\,400} = \frac{MB}{4,32} = 12,0032347... \equiv 12_1, \text{ где } 86\,400 - \text{ количество секунд в сутках};$$

$$12 = \frac{51,84}{4,32}, \text{ где } 51,84 - \text{ числовой маркер } MB, 51,84 \approx \sqrt{MB} \times (14,4 - \sqrt{MB}) = 51,84 - 9,415833... \times 10^{-7};$$

$$12 \approx 12_1 - \frac{\sqrt{MB}}{0,3} = \frac{MB}{4,32} \times (14,4 - \sqrt{MB}) = 12 - 2,179591... \times 10^{-7} \equiv 12_2;$$

$$12 \approx 12_2 + \frac{1}{86\,400 \times \arctg 4/3} = 12 - 1,151023... \times 10^{-10} \equiv 12_3;$$

$$12 \approx 12_3 + L_{\text{базовая}} / 2 \times 10^{-12} = 12 + 8,82668... \times 10^{-14} \equiv 12_4;$$

$$12 \approx \left(\frac{MB}{15}\right)^2 = (3,456931...)^2 = 12 - 0,0496239... \equiv 12_5;$$

$$12 \approx 12_5 \times (MB \times 4 \times 10^{-5} + 1)^2 = \left[\frac{MB}{15} \times (MB \times 4 \times 10^{-5} + 1)\right]^2 = 12 + 1,4644133... \times 10^{-6} \equiv 12_6;$$

$$12 \approx 12_6 - 4 \text{ тропических года на } 1900 \text{ г. в звездных сутках} \times$$

$$\times 10^{-9} + \frac{5}{9} \times 10^{-9} = 12 + 1,268283... \times 10^{-13} \equiv 12_7, \text{ где } 1 \text{ троп. год на } 1900 \text{ г.} = 366,242198781 \text{ зв. сут.}$$

В современной науке утвердилось представление, что задача квадратуры круга (построение равновеликих по площади круга и квадрата с помощью циркуля и линейки) произошла из утилитарных соображений древних людей, см., например, [8]. Несводимость круга и квадрата друг к другу (трансцендентность  $\pi$ ) можно доказать в рамках формальной математики, как это сделал в 1882 году Ф. Линдеман, но несводимость круга и квадрата является и простым логическим следствием основополагающих представлений космологии богов, есть результат законов проявления-развертывания Всевышнего, где трансцендентность  $\pi$  – это лишь частный случай.

## Глава 2. Проявление числа 12

Многочисленные проявления числа 12 широко известны. Уместно напомнить некоторые из них и привести оригинальные примеры, чтобы показать значимость этого числа.

Поскольку предмет статьи относится к теоретической метрологии, прежде следует отметить происхождение ещё одной древней меры длины, называемой *королевским* (царским) *локтем* (смотреть, например, [6, с. 320]). Величина *королевского локтя* определяется выведенным для окружности числом 12 и 1 *метром*. Круг с  $R_\circ = 1 \text{ м}$  имеет периметр  $P_\circ = 2\pi \times 1 \text{ м} = 6,283185307... \text{ м}$ , а  $1/12$  его часть  $P_\circ/12 = 2\pi/12 \times 1 \text{ м} = \pi/6 \times 1 \text{ м} = 0,52359877... \text{ м}$ . Полученную величину  $0,52359877... \text{ м}$  следует назвать *базовым королевским локтем* (*base Royal Cubit*)  $\equiv 1 \text{ бКЛ}$  ( $1 \text{ bRC}$ ), поскольку для практических целей возможно использование нескольких значений

королевского локтя, отличающихся от базового. Более подробно об этой мере раскрывается в «Единой системе мер богов».

Деление небесных циклов на 12 равных частей известно с начала исторического периода и широко применяется в настоящее время:

- 12 зодиакальных созвездий эклиптики;
- 12 месяцев в году: солнечном, лунном, Платона;
- 12-летний животный цикл в восточных календарях, соответствующий 12-летнему году Юпитера (точнее, 11,86 земным годам);
- 12 двойных часов в сутках: в Китае 12 стражей (двойных часов), в Шумере;
- 12 ночных деканов (12 звезд) древнеегипетского календаря для определения ночного времени;
- 120 лет – в древнем Египте период времени, называемый хенти;
- 12 земных суток состоит из 20 000 числовых маркеров МБ:  
 $86\,400 \text{ сек} \times 12 \text{ сут} = 1\,036\,800 \text{ сек} = 20\,000 \times 51,84$  или  $МБ \times 20\,000 = 1\,037\,079,4802... = 86\,400 \times 12,0032347...$ , как отмечено выше.

Число 12 в различные времена у различных народов использовалось в качестве основы системы счисления. Считается, что 12-ричная система счисления возникла в древнем Шумере, использовалась в Вавилоне. Сейчас используется в Нигерии и Тибете. Были попытки ввести в XVIII веке во Франции и в XX веке в Америке. Известен счет дюжинами: 1 штука = 1/12 дюжины = 1/12 × 1/12 гросса = 1/12 × 1/12 × 1/12 массы. Считается общепризнанным, что 12-ричная система счисления возникла из пересчета большим пальцем руки 12 фаланг на остальных 4 пальцах. И здесь утилитарное обоснование происхождения, как и с задачей квадратуры круга. Сейчас доминирует представление, что развитие науки основывалось на бытовой потребности древних людей при использовании примитивных подручных средств. Это представление верно лишь в малой части, поскольку есть веские основания утверждать, что потребность в развитии быта лишь поддерживала развитие науки. Основанием же для развития науки у разрозненных древних примитивных племен послужила наука, переданная им от высокоразвитой цивилизации людей, которых за их знания и возможности называли богами. Эта точка зрения не нова, но материал данной работы может послужить ещё одним доводом в пользу передачи нам науки богами, доводом, математически обоснованным. Примитивные племена не могли воспринять знания в полной мере, да и полученное, впоследствии было во многом утрачено, остались лишь разрозненные по всему миру осколки науки, оставленные как богами, так и нашими древними предками. Учитывая утрату основополагающих знаний, можно утверждать, что наука не прогрессирует, а имеет место регресс Науки. Огромный же объем современных научных сведений, разобщенных наук, вовсе не обуславливает наличие основополагающих знаний. На отсутствие основополагающей науки, как это ни покажется странным современному человеку, указывает наличие прогресса техники и технологий, безудержное развитие которых неминуемо ведет к преждевременной гибели цивилизации. Ведь наука богов прямо указывает на необходимость сдерживания технического прогресса. Правильнее будет сказать, что указывает не на сдерживание, а просто не несет в себе мотивации к бурному техническому развитию. Подобное отношение усматривается в китайской философии, называемое Дао-Путь, и в учении Христа: входите тесными вратами, ведущие в жизнь (Мф 7:13,14); учение Господа открыто младенцам (Мф 11:25); будьте как дети и войдете в Царство Небесное (Мф 18:3). У фараонов Египта известен ритуальный процесс, названный египтологами *creatio continua*, обязывавший фараонов от восхождения на престол и до самой смерти постоянно воспроизводить сотворение Вселенной, возвращаться к Первому времени (*Zep Teri*) [9]. Противоположным устремлением является Путь Золотого Тельца, одним из проявлений которого и является безудержный технический прогресс. Тем самым работает формула – чем больше развита Наука, тем меньше масштабы технического прогресса в современном его проявлении. В этом смысле

следует обратить внимание на абсурдность часто используемого для нашего времени словосочетания «научно-технический прогресс». Это не менее абсурдно, чем выражение «идти на северо-юг». Гармонично развитое общество определяется сбалансированностью науки и техники, а баланс определяется законами физики сотворения мира.

Известно деление мер на 12 частей. Так, в древнем Риме для измерения веса служила мера асс, равная 12 унциям, также асс и унция использовались римлянами в качестве денежных единиц. Английский шиллинг равен 12 пенсам, фут равен 12 дюймам.

В западной культуре получил распространение равномерно темперированный музыкальный строй, делящий октаву на 12 равных интервалов, с величиной интервала  $\sqrt[12]{2} = 1,05946309\dots$ , такой интервал называется полутон. Этот строй удобен для клавишных инструментов, октава которых составляет 12 клавиш. Величина  $12 \times 10^6 \times \sqrt[12]{2} \times 1 м = 12\,713\,557,132\dots м$  лишь на несколько *метров* отличается от длины земной оси ( $2 \times R_{\text{полярн. земли}} = 2 \times 6\,356\,777 м = 12\,713\,554 м$ ). Тем самым имеется окружность (делящаяся на 12 равных частей) Земли, сплюснутая с полюсов до эллипса с малой осью, равной 12 полутонам, умноженным на 1 миллион *метров*. Также  $\sqrt[12]{2}$  является интервалом в системе русских сажений.

Возьмем окружность-нить с метками-узелками, делящими её на 12 равных частей. Если потянуть от центра за 3 узелка с промежутками из 3, 4 и 5 частей, то из окружности получится фундаментальный прямоугольный треугольник  $\Delta 3:4:5$ , дающий точный прямой угол. Из двух таких треугольников получается уникальная фигура – прямоугольник  $3 \times 4$ . В нём сосредоточено сразу 3 полноты – это 7, 10 и 12: полупериметр содержит 7 частей, по периметру расположены 10 квадратов, площадь же состоит из 12 квадратов. Если вместо 12 квадратов разместить 12 прямоугольных ( $4 \times 3$ ) кристаллов, уложенных в золотое обрамление, то получится квадратный нагрудник первосвященника Израиля Аарона – старшего брата Моисея. Если потянуть за 4 узелка с равными промежутками из 3 частей, то получится квадрат. Этот квадрат представляет собой упрощенную схему Небесного Иерусалима из откровения Иоанна Богослова. Если потянуть за 3 узелка с равными промежутками из 4 частей, то получится равносторонний треугольник – знаменитый тетраксис Пифагора. Смотреть рисунок 6.

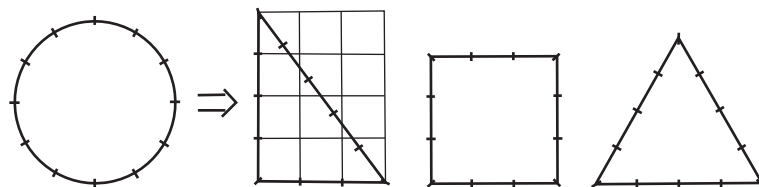


Рис. 6

Тела Платона. В кубе, октаэдре и звездном тетраэдре – по 12 ребер, в икосаэдре – 12 вершин, в додекаэдре – 12 граней. Сфера делится на 120 одинаковых треугольников, если на ней равномерно провести 15 окружностей, где 32 точки пересечения образуют вершины гексаикосаэдра – это минимальное число точек на сфере, которое необходимо, чтобы вписать все 5 тел Платона. Каждая из 15 окружностей делится на 12 неравных частей, имеющих 3 типа размера. К шару можно приложить не более 12 шаров равного ему размера. В двойном кубе 12 вершин-узлов. В храме царя Соломона был Алтарь Господу Богу из белого мрамора в форме точно выверенного двойного куба. Камера Царя в Великой пирамиде Гизы имеет форму двойного куба с шириной камеры  $\sim 10$  *базовых королевских локтей*. Диагональ куба, состоящего из 8 единичных кубиков, равна  $\sqrt{12}$ .

Анатомия человека. 4 конечности имеют по 3 сочленения: плечо, предплечье, кисть и бедро, голень, стопа. 4 пальца на руках и ногах (кроме больших) имеют по три фаланги. 12 пар ребер. 12 пар черепно-мозговых нервов. 12 первичных меридианов, по которым течёт энергия ци, и 12 вторичных меридианов – озёра энергии ци. Казалось бы, что времена года и сочленения у человека – это явления совершенно разные, но проявляется

одна и та же формула «4 по 3 равно 12», происходящая из взаимодействия окружности и квадрата.

Великая пирамида Гизы. Каждая из 4 граней пирамиды вогнута и состоит из 3 треугольников: два больших боковых треугольника и один малый при основании.  $\sqrt{L_{\text{базовая}} \times 10} / 4 = 12 - 9,82498377... \times 10^{-4} \approx 12 - \pi^2 \times 10^{-4}$  и  $\sqrt{230,4 \times 10} / 4 = 12$ , где 230,4 – андрогинный числовой маркер длины основания ВП. Площадь полосы платформы, выступающей из-под пирамиды, равна  $120 \text{ м}^2$ , а именно  $(L_{\text{базовая}} + 2 \times \text{МБ} / 100 \times 1 \text{ м}) \times \text{МБ} / 100 \times 1 \text{ м} = 120 \text{ м}^2 - 4,58467764... \times 10^{-4} \text{ м}^2$ . Три пирамиды Гизы имеют по 4 боковые грани. Четыре длины Древнего Египта составляют 1/12 часть полярной окружности Земли.

Собрание богов и людей. Известно о наличии многочисленных пантеонов из 12 Великих Богов в странах Азии и Европы в течение более 3000 лет до нашей эры. Пантеоны образовывали Великие круги из 6 богов и 6 богинь. 12 учеников-апостолов Иисуса Христа. 12 рыцарей Круглого стола короля Артура сидели по двое на каждом углу шестиугольного стола так же, как и 12 ликторов Ромула. 12 пэров Франции (6 светских и 6 духовных). 12 немшанов Круглого совета Далай Ламы.

12 праздников в году у христианской православной церкви.

Роза из 12 ветров была принята по всей Римской империи со времени Аристотеля до конца Средневековья.

Примечательно понятие плеромы (наполнение, полнота, множество – греч.), являющееся центральным в гностицизме. Плерома представлялась упорядоченной совокупностью 12 эонов (аспектов), возникающих попарно из неизвестного, несказанного абсолютного Божества. Плерому символизировал зодиакальный круг.

Из приведенных проявлений выделяются два: небесные циклы и собрания-советы. Выделяются они тем, что устойчиво использовались в практике людей на протяжении тысячелетий. По сути одно и другое представляет собой поочередный обход определенных единиц по замкнутому кругу, причем обход является периодически возобновляемым. Что же касается распространения 12-ричности на все меры и повсеместного использования только одной системы счисления с основанием 12, то это явно не обоснованно, поскольку 12 является не единственной полнотой и не единственным циклическим числом (о других циклических числах см. ниже). Имеется также 10-ричная полнота, отражающая фрактальность пространства, и 7-ричная полнота, отражающая один из аспектов зарождения материального (подробно раскрывается в «Космологии богов»). С другой стороны, деления окружности на 10, 100, 366 и т.п. равных частей не являются основополагающими, такие деления круга могут быть приемлемы лишь для узкоприкладных задач. Поэтому в мерах и системах счисления должен применяться простой принцип: «всему своё место». Но боги оставили нам систему счисления довольно универсальную – это 60-ричная система, в ней нет только семёрки.

### Глава 3. Проявление *МБ* в круговых мерах длины, в мегалитических сооружениях Европы, в физике небесных тел и в математике

#### Пропорция $4/\pi$ и основные круговые меры

Выше определена мера длины, названная *МБ* *м*, и показано, что эта мера заложена в длину основания ВП. Но по своему происхождению *МБ* *м* изначально является не мерой длины прямых отрезков, а мерой длины окружности, ведь *МБ* – это угловая пропорция, определяемая отношением катетов треугольника, равным  $4/\pi$ , при делении полного угла окружности на 360 равных частей. Изначально *МБ* *м* окружности можно представить из условия: длина дуги окружности с угловой величиной в  $1^\circ$  равна 1 *м*. Тогда дуга длиной *МБ* *м* отложится на окружности, как показано на рисунке 7в.

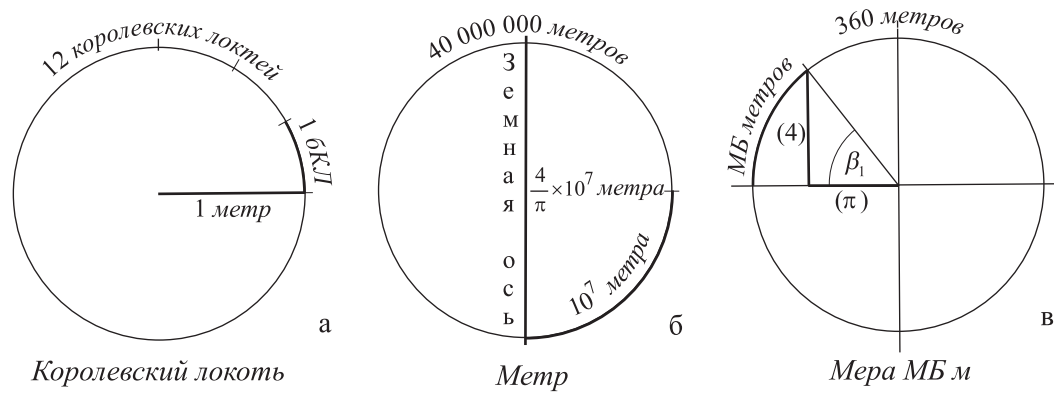


Рис. 7

Мера длины  $МБ м$  определяется пропорцией  $МБ$  и *метр*. Поэтому следует кратко коснуться происхождения *метра*. Важным является то, что *метр*, как и  $МБ$ , определяется пропорцией  $4/\pi$ . Возьмем диаметр окружности равный  $4/\pi$ , тогда длина окружности будет равна 4 (кстати, и площадь этой окружности равна  $4/\pi$ ). Если меридиональное сечение Земли аппроксимировать кругом, то тогда длина оси вращения Земли выбирается равной  $4/\pi \times 10^7 м$ , а длина окружности – равной  $4 \times 10^7 м$ . Смотреть рисунок 7б. Если сечение аппроксимировать более точно – эллипсом, то тогда сумма полярного и экваториального радиусов  $R_{\text{поляр.земли}} + R_{\text{экват.земли}}$  будет равна  $4/\pi \times 10^7 м$ , а периметр  $P \approx \pi \times (R_{\text{поляр.земли}} + R_{\text{экват.земли}}) = 4 \times 10^7 м$ . *Метр* является базовой мерой для мер длины, и деление полярной «окружности» на  $10^7$  соответствует одному из критериев выбора такой меры: мера должна быть сравнима с размерами человека для удобства обращения с ней. Также весьма кстати то, что диаметр, равный  $4/\pi$ , дает деление окружности на 4 равные части, поскольку малая и большая оси делят эллипс на 4 равные по длине и одинаковые по геометрии части, причем 4 – это максимально возможное число геометрически одинаковых частей эллипса.

Таким образом, пропорция  $4/\pi$  обуславливает и  $МБ$ , и *метр*, а также обуславливает и меру *королевский локоть*, поскольку последняя получается в результате деления окружности на 12, а число 12 выводится из окружности и квадрата, для которых  $P_{\square}/P_{\circ} = 4/\pi$ , и  $1 бКЛ = \left(\frac{3}{2} \times \frac{4}{\pi}\right)^{-1}$ . Поэтому эти три меры длины можно назвать не только круговыми мерами, но и мерами пропорции  $4/\pi$ . Следует обратить внимание и на различие. Если для  $МБ$  и *метра* *метр* укладывается целое число раз по окружности, то для *королевского локтя*  $1 метр$  укладывается по радиусу. Смотреть рисунок 7а.

Для полноты картины круговых мер длины следует указать ещё и на так называемые географические меры длины. Базовая система мер для географических мер получается из деления окружности длиной  $4 \times 10^7 м$  на угловые единицы из угловой системы мер с  $360^\circ$ ,  $60'$ ,  $60''$  и  $60'''$ . Вот некоторые меры из базовой географической системы:

$$1 \text{ баз. геогр. фут} = \frac{4 \times 10^7 м}{10 \times 60^4} = \frac{1 м}{3,24} = 0,308641975 м = 10^{-2} \times 1 \text{ баз. геогр. плетера};$$

$$1 \text{ баз. геогр. стадий} = \frac{4 \times 10^7 м}{60^3} = \frac{100 м}{0,54} = 185,185 м = 10^{-1} \times 1 \text{ баз. морск. миля};$$

$$1 \text{ баз. геогр. локоть} = \frac{4 \times 10^7 м}{400 \times 60^3} = \frac{1 м}{2,16} = 0,4629 м = 10^{-1} \times 1 \text{ баз. геогр. род}.$$

Подробнее система круговых мер длины раскрывается в «Единой системе мер богов».



*Метр, королевский локоть и двойной королевский локоть (1двойной бКЛ =  $\pi/3 = 1,04719755\dots$  м)* удобны по своим размерам в обращении. Для ориентира можно указать следующие размеры, соответствующие критерию удобства. Единица измерения длины должна быть немного меньше размаха рук (меньше на удвоенную длину двух оконечных фаланг пальцев рук), т.е. должна быть меньше  $1\text{ баз.геогр.брасса} = 1,85(185)\text{ м}$ . Минимальные размеры должны быть около толщины пальца, т.е. около  $1\text{ баз.геогр.дюйма} = 0,02572\dots\text{ м}$ . Средним удобным размером можно принять  $1\text{ баз.геогр.ярд} = 1\text{ баз.геогр.брасс}/2 = 0,925\text{ м}$ . Мера *МБ м* критерию удобного размера не соответствует, т.к. в 56 раз превышает средний удобный размер. Поэтому в качестве единицы измерения для *МБ м* необходимо определить её простую дольную величину, попадающую в диапазон удобных размеров. Следует ещё раз отметить, что удобство размера – это лишь один из критериев выбора единицы измерения. О других критериях говорится ниже.

### Мера *МБ м* и Мегалитический Ярд Александра Тома

Профессор инженерных наук Оксфордского университета Александр Том 50 лет занимался исследованием мегалитических сооружений на большей части европейской территории, начиная с островов Северной Шотландии до Британи на западных оконечностях Европы. Том обмерил несколько сот сооружений позднего неолита (относимые к 4-2 тысячелетиям до н.э.) и в 1967 году опубликовал свою работу «*Megalithic Sites in Britain*» («Места расположения мегалитов в Великобритании») [10]. В этой работе он показал, что на обширной территории при строительстве сооружений использовалась стандартная мера длины, равная  $2,722\text{ фута}$  или  $0,82966\text{ м}$ , названная им “*the megalithic yard*” (*МЯ*), т.е. *мегалитическим ярдом (МЯ)*. По утверждению Тома, единицы, которые он обнаружил, были исключительны по своей научной точности, и это притом, что сооружения относятся к каменному веку. Том установил, что *МЯ* имел много дольных и кратных значений: делился и умножался на 2, делился на 40 (*мегалитический дюйм*), а также умножался на 2,5 (*мегалитический фатом*) и на 25. Следует обратить внимание на то, что *мегалитическим ярдом* названа не пропорция, а определенная мера длины. Тщательное обследование древних сооружений позволило Тому сделать выводы о том, что они построены на основе хороших знаний геометрии, служили в качестве календарей и часов и использовались для точных астрономических наблюдений. В 1978 году А. Том со своим сыном опубликовали работу [11], в которой они пришли к выводу, что точная длина  $\text{МЯ} = 2,722\text{ фута} \pm 0,002\text{ фута} = 0,8296656\text{ м} \pm 0,00061\text{ м}$ . Александру Тому удалось с высокой достоверностью выявить древнюю меру длины, но происхождение её найдено не было. Сведения об А. Томе и его открытии взяты в основном из работы [12].

Умножим *МБ м* на 16 и разделим на 1000:  $\text{МБ м} \times 0,016 = 0,8296635842\dots\text{ м}$ , это всего лишь на  $0,00201579\dots\text{ мм}$  меньше, чем точное среднее значение *МЯ* от А. Тома. Таким образом, *МЯ* с достаточной степенью точности является дольным значением *МБ м*. Введем обозначение  $1\text{ базовый МЯ} \equiv 16\text{ МЯ} \equiv \text{МБ м} \times 0,016 = 0,8296635842\dots\text{ м}$ .

Сведения по используемой в древности шкале *МЯ* весьма скудны. Однако наличие этих сведений весьма существенно с позиции науки богов, поскольку множители дольных и кратных единиц это не просто числа, а числа, несущие в себе определенный физический смысл и в совокупности с основной единицей измерения образующие полноценную систему мер. Так, для *МБ м* использовать в качестве основания число 3 нельзя, поскольку это число имеет мужское начало и его использование либо устранил числовое мужское начало круговой меры *МБ м*, либо исказит его. Чтобы этого не произошло, нужно использовать числа с женским началом, т.е. числа 2, 4 и т.д. Именно это и есть в дольных и кратных значениях *МЯ*, выявленных Томом. Например, чтобы получить *мегалитический*

фатом, нужно  $2,5 \times МЯ$ , а если считать от  $МБ м$ , то нужно  $4/100 \times МБ м$ , т.е. 2,5 переходит в 4. В шкале использовалось число 10, но совместно с числами 2 и 4. Если использовать в качестве основания только число 10, то это может привести к путанице при практическом использовании, т.к.  $МБ м / 100 = 0,518539740... м$  лишь на  $5,059035... мм$  меньше, чем  $1бКЛ$ . Возможно, по этой причине не встретилось значение  $1000 МЯ / 16$ , а может быть, это делалось для сохранения  $МБ м$  в тайне.

### Числовые маркеры МБ

**Проявление пропорции МЯ на окружности и в квадрате.** Материальный угол  $\Delta SE$  можно выразить не только через угловые градусы, но и через полный угол окружности. Тогда угловые значения дуги по рисунку 7в будут иметь следующие значения:

$$\begin{aligned} \angle \beta_1 &= МБ^\circ / 360^\circ = 0,1440388167... \times 1 \text{ полный угол} = \\ &= МБ^\circ / 90^\circ = 0,576155266... \times 1 \text{ прямой угол} = \\ &= МБ^\circ / 22,5^\circ = 16 \times МБ^\circ / 360^\circ = 2,304621067... \times 1 \text{ четверть прямого угла} . \end{aligned}$$

Где  $90^\circ / МБ^\circ = 1,73564325... \approx \sqrt{3} = 1,73205080...$ , т.е.  $МБ^\circ \approx 90^\circ / \sqrt{3} = 360^\circ / \sqrt{48} = 30^\circ \times \sqrt{3}$ ,

из этого можно получить выражение  $3 \approx \left[ \frac{МБ}{30} \times (МБ \times 4 \times 10^{-5} + 1) \right]^2 = 3 + 3,66103341599... \times 10^{-7}$ , которое уже приводилось выше. Выражение  $МБ \approx 30 \times \sqrt{3} = 51,961524227...$ , представленное в геометрическом виде, смотреть на рис 8.

Чтобы дугу длиной  $1 МБ м$  сделать длиной  $1 бМЯ$ , нужно окружность длиной  $360 м$  уменьшить в  $62,5$  раза:  $360 м \times 0,016 = 5,76 м$  – это  $1/10$  часть от маркера длины туловища Большого Сфинкса (БСф) на плато Гизы. На рисунке 9 показаны проявления  $МЯ$  и  $МБ$  на окружности и в квадрате.

Также  $МБ \approx 36,(6) \times \sqrt{2} - \pi / 6 \times 10^{-3} = 36,(6) \times \sqrt{2} - \text{Пропорция } 1бКЛ \times 10^{-3} = 51,853973688...$

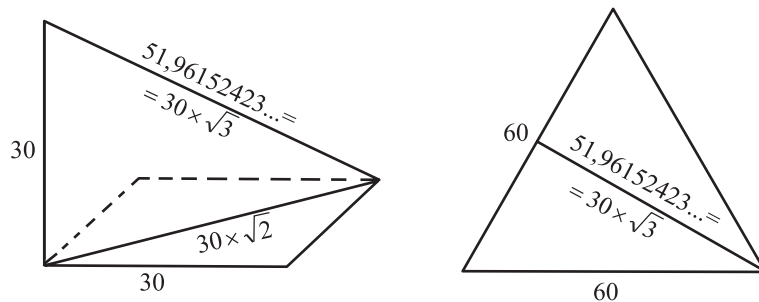


Рис. 8

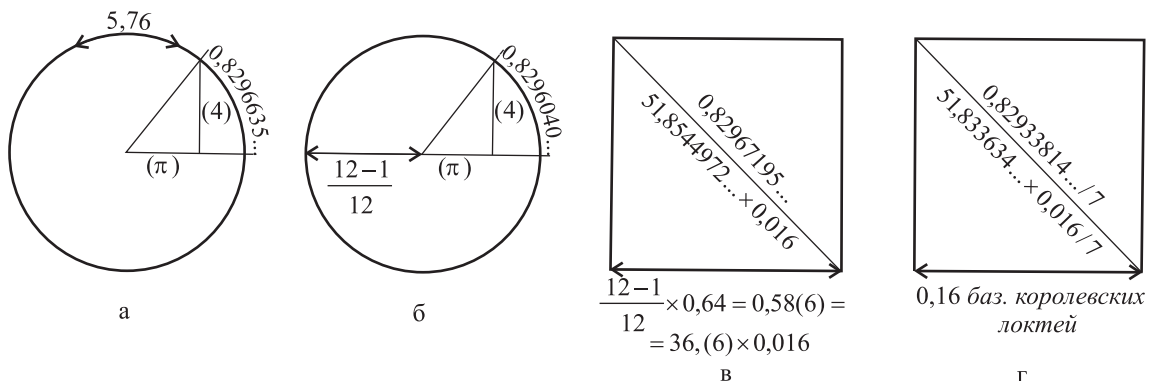


Рис. 9

**7-ричный числовой маркер МБ.**  $MB^\circ = 51,8539740^\circ \dots = 3\,111,238440' \dots = 186\,674,34064'' \dots = 11\,200\,458,38675''' \dots \approx 11\,200\,000''' = 186\,666,(6)'' = 3\,111,(1)' = 51,85(185)^\circ = 1\,400^\circ / 27 = 7,(7) \times 6,(6) = 7 \times 6 \times (10/9)^2$ , где  $7 \times 6 = 42$  – это угол наклона ребра Великой пирамиды, а  $(10/9)^2 = 1,2345679\dots$  – это пирамидальное число. Обозначим:  $M\tilde{B}_7 \equiv 51,85(185)$  – это 7-ричный числовой маркер МБ:  $112 = 7 \times 16$ . Добавку  $458,38675''' \dots$  можно представить следующими соотношениями:

$$\frac{1440'''}{\pi} = 360'' \times \frac{4}{\pi} = 458,3662361'' \dots = \frac{1^\circ}{150 \times \pi};$$

$$\frac{5500}{12} = \frac{12-1}{12} \times 500 = 458,(3);$$

$$13 \times \arcsin(1/\sqrt{3}) = 458,43706587^\circ \dots \text{ – из } \Delta \sqrt{1} : \sqrt{2} : \sqrt{3} \text{ (см. Приложение 2).}$$

Отметим соотношения:

$$M\tilde{B}_7 + \text{Пропорция 1 баз. геогр. брасса} = 52;$$

$$M\tilde{B}_7 / \text{Пропорция 1 баз. геогр. брасса} = 28;$$

$$360 / M\tilde{B}_7 = 7 - 4/70;$$

$$(M\tilde{B}_7 \times 5,76)^{-1} = 298,(6)^{-1} = 0,0033482(142857) \text{ – близко к полюсному сжатию Земли.}$$

**Проявление числа 112.**

$112 \approx \frac{108}{36 \times PL - 700} = 112,039838\dots$ , где  $PL = 19,4712206\dots$  – угловая константа тел Платона (см. Приложение 2);

$$112 = \frac{2}{3} \times \frac{M\tilde{B}_7}{\text{1 баз. геогр. фут}};$$

$$112 \text{ часов} = \frac{2}{3} \times 168 \text{ часов} = \frac{2}{3} \times 1 \text{ неделю};$$

$$112 \approx \frac{1}{10} \times 1 \text{ тропический год в звёздных сутках на } 1900 \text{ г.} \times e \times \frac{9}{8} = 111,999320298\dots \text{ зв. сут.};$$

$112 \approx \frac{4}{3} \times 84,00788\dots = 112,0105\dots$ , где  $84,00788\dots$  – число оборотов Марса за период 74 соединений Земли и Марса;

$112 \approx \frac{4}{3} \times 84,015 = 112,02$ , где  $84,015$  – сидерический период обращения Урана в тропических годах Земли;

$$112 = \frac{3}{2} \times \frac{27\,272 \text{ сут.}}{365,25 \text{ сут.}} \approx \frac{3}{2} \times \frac{1000 \text{ оборотов экватора Солнца}}{1 \text{ тропический год Земли}};$$

$112 \approx \frac{1}{2} \times 224,695 \approx \frac{1}{2} \times 224,701$ , где  $224,695$  и  $224,701$  – число суток в тропическом и сидерическом периодах движения Венеры по орбите.

$$\begin{aligned} \text{Введем обозначение: Пропорция бМЯ}_7 &\equiv \text{Пр. бМЯ}_7 = \frac{1400}{27} \times 0,016 = \frac{112}{135} = \frac{112}{22,5 \times 6} = \\ &= \frac{900-4}{1080} = \frac{10-0,0(4)}{12} = \frac{8}{9} \times \frac{14}{15} = \frac{8}{9} \times \frac{112}{120} = \frac{8}{9} \times \frac{336}{360} = \frac{298,(6)}{360} = \frac{9,9(5)}{12} = \frac{28 \times 4}{27 \times 5} = \\ &= 28 \times \left(\frac{2}{3}\right)^3 \times 10^{-1} = \left(8 + \left(\frac{2}{3}\right)^3\right) \times 10^{-1} = \mathbf{0,8(296)}, \text{ также } 135 \approx \frac{99000-1}{10 \times \sqrt{2} \times MB} = 134,9999986\dots \end{aligned}$$

Отметим проявления  $\text{Пр. бМЯ}_7$ :

$$\frac{1 \text{ баз.геогр.ярд}}{\text{Пр.бМЯ}_7} = \frac{5 \times 10^2}{448} = 1,11607(142857) = \frac{1,25 \text{сут.}}{112} \times 10^2 = \frac{365,25 \text{сут.} - 364 \text{сут.}}{112 \times 10^{-2}};$$

$$\frac{P \text{ баз.поляр.Земли}}{\text{бМЯ}_7} = \frac{4 \times 10^7 \text{ м}}{0,8(296) \text{ м}} = \frac{27}{56} \times 10^8;$$

1 синодический месяц Луны  $\times$  1 сидерический месяц Луны = 29,5305882 сут.  $\times$  27,3216614 сут.  
(данные из [13, с. 213]) = 806,82473174 сут.<sup>2</sup>  $\approx \frac{10^{13}}{2 \times 86400^2 \times \text{Пр.бМЯ}_7} - 10^{-2} \times \text{МБ} =$   
= 806,8247969... .

**Андрогинный числовой маркер МБ.** Определим ещё один важный числовой маркер.  $\text{МБ}_A \equiv 51,84 = 360 \times 0,144$  (от  $\text{МБ} = 360 \times 0,1440388167\dots$ ) = 52 – 0,16. Назовем маркер  $\text{МБ}_A$  андрогинным числовым маркером МБ. Обоснование такого названия раскрывается в «Космологии богов» и «Единой системе мер богов».

Покажем связь маркера  $\text{МБ}_A$  с другими маркерами и числами:

$$\text{маркер } PL \equiv 19,44 = \frac{3}{8} \times 51,84 \div 0,9 = 57,6(\text{м}) \equiv \text{маркер длины тулов. Б Сф}$$

$$\text{число бога Тота (см. ниже)} = 52 = \frac{1300}{1296} \times 51,84 \div 0,225 = 230,4(\text{м}) \equiv \text{маркер длины основ ВП}$$

$$155,52 = 3 \times 51,84 \div 3 = 17,28$$

$$\text{Пр.бМЯ}_A \times 10^3 \equiv 0,82944 \times 10^3 = 16 \times 16 \times 51,84 \div 16 = 3,24 = 1/1(\text{баз. геогр. фут})$$

$$I_h = 34\,560 = 1000 \times \frac{2}{3} \times 51,84 \div 11 \times \frac{3}{2} = 3,14(18) \equiv \tilde{\pi}_A$$

$$360^\circ = 7\,776'' = 100 \times \frac{3}{2} \times 51,84 \div 99 = 0,52(36) \equiv \text{Пр.1 КЛ}_A$$

$$\text{маркер года Платона} \equiv 25\,920 = 500 \times 51,84$$

$$\text{маркер земн.сут.} \equiv 86\,400(\text{сек}) = \frac{10^4}{6} \times 51,84$$

$$P_{\text{баз.полярн.Земли}} \equiv 4 \times 10^7 = 1,(6)^4 \times 10^5 \times 51,84$$

$$MNN = 7 \times 54 \times 10^{10} \times 51,84$$

$$\cos 51,84^\circ \times \frac{2}{1,6 \times 230,4} = 0,003352102935\dots = \frac{1}{298,3201946\dots} \approx \text{полюсное сжатие Земли.}$$

Введено понятие андрогинного маркера пропорции базового МЯ  $\text{Пр.бМЯ}_A = 51,84 \times 0,016 = 0,84944$ . Используются обозначения: об угловой константе тел Платона  $PL^\circ$  смотреть в Приложении 2;  $I_h$  – гармонический интервал между средним межобъектным расстоянием одного уровня и средним межобъектным расстоянием следующего уровня для всех сферических энергетических объектов от нуклонов до галактик, равный 34 560, например, среднее расстояние между клетками / среднее расстояние между атомами = 34 560, открыт физиком Рэем Тоумсом (1996 г.);  $MNN$  – мегачисло из Ниневии, равное  $1959\,552 \times 10^8 = 70 \times 60^7$ , выявленное сотрудником НАСА Морисом Шателеном на одной из клинописных табличек библиотеки царя Ашшурбанипала (669-626 гг. до н.э.) в ассирийской столице Ниневии.

7-ричный маркер связан с андрогинным маркером следующими соотношениями:

$$\text{МБ}_7 - \text{МБ}_A = 51,85(185) - 51,84 = 0,01(185) = 10^{-2} + \text{Пр.1 баз.геогр.брасса} \times 10^{-3};$$

$$\frac{\text{МБ}_7}{\text{МБ}_A} = \frac{51,85(185)}{51,84} = \frac{70\,000}{70\,000 - 16} = \frac{4\,375}{4\,374} = 1,00022862\dots$$

Угловую меру  $MB^\circ = 11\,200\,458,386\,759\,929\,730\,177'' \dots$  можно довольно точно выразить через 7-ричный и андрогинный маркеры:

$$MB^\circ \approx 51,85(185)'' \times 216 \times 10^3 + 51,84'' \times \frac{10^3}{36 \times \pi} + 0,02'' + \frac{12-1''}{21} \times 10^{-3} + 51,84'' \times 3 \times 10^{-10} = \\ = 11\,200\,458,386\,759\,929\,734\,376'' \dots$$

### Проявление $MB$ ( $МЯ$ ) в земных циклах

**Проявление  $MB$  ( $МЯ$ ) в прецессии оси Земли.** Определим разность между  $MB$  и её андрогинным маркером:  $MB^\circ - \widetilde{MB}_A^\circ = 51,8539740^\circ \dots - 51,84^\circ \dots = 0,01397401277745^\circ \dots = 50,3064459988288'' \dots$ . Эта величина лишь на несколько терций превышает угол поворота прецессии земной оси по долготе за тропический год. Поэтому, если к маркеру  $\widetilde{MB}_A^\circ$  прибавить  $p$  – значение годичной прецессии по долготе за определенный год, то получится величина, весьма близкая к  $MB^\circ$ . Эту величину можно назвать годичной прецессионной  $MB^\circ \equiv MBp^\circ = \widetilde{MB}_A^\circ + p$ . В таблице 1 приведены несколько значений годовой прецессии по долготе для XX века и соответствующие значения  $MB^\circ$  и  $Пр.МЯp^\circ$ . Значения годовой прецессии взяты из Астрономических ежегодников.

Таблица 1.

	1900,0 г.	1923,5 г.	1950,0 г.	1986,5 г.	2000,5 г.
Годовая прецессия по долготе, $p$	$0,0139601^\circ$ $= 50,2564''$	$0,0139616^\circ$ $= 50,2616''$	$0,0139632^\circ$ $= 50,2675''$	$0,0139689^\circ$ $= 50,2880''$	$0,0139697^\circ$ $= 50,2911''$
$MBp^\circ$	$51,8539601^\circ$	$51,8539616^\circ$	$51,8539632^\circ$	$51,8539689^\circ$	$51,8539697^\circ$
$MB^\circ - MBp^\circ$	$3,005186''$	$2,681186''$	$2,335586''$	$1,104386''$	$0,931586''$
$Пр.МЯp^\circ$	$0,82966336^\circ$	$0,82966338^\circ$	$0,82966341^\circ$	$0,82966350^\circ$	$0,82966351^\circ$
$Пр.бМЯ^\circ - Пр.МЯp^\circ$	$2,23^\circ \times 10^{-7}$	$1,99^\circ \times 10^{-7}$	$1,73^\circ \times 10^{-7}$	$0,82^\circ \times 10^{-7}$	$0,69^\circ \times 10^{-7}$

Разность  $MB - \widetilde{MB}_A$  можно довольно точно выразить через маркер года Платона, пропорцию  $\pi$  и 7-ричный маркер  $MB$ :

$$\arctg \frac{4}{\pi} - 51,84^\circ \approx 360^\circ \times \left( 25\,920 - \frac{\pi}{2} \times (100 + \widetilde{MB}_7 \times 10^{-2}) \right)^{-1} = 0,013974012^\circ \dots = 50,3064464'' \dots$$

Определим число лет для полного оборота прецессии, если за год угол прецессии составляет  $MB^\circ - \widetilde{MB}_A^\circ$ :

$$\frac{360^\circ}{MB^\circ - \widetilde{MB}_A^\circ} = 25\,762,106113 \dots \text{года} =$$

(по современным данным период прецессии для неподвижной эклиптики = 25 725 лет, а для движущейся эклиптики = 25 784 года [13, с. 36])

$$= 25\,920 \text{ лет} - 157,89388679 \dots \text{года} = 25\,920 \text{ лет} - \frac{\pi}{2} \times 100,51837027 \dots \text{года} \quad (\text{и здесь}$$

проявляется  $MB$ ). Тогда можно записать следующее соотношение:

$$\left( 25\,920 - \frac{\pi}{2} (100 + \widetilde{MB}_A \times 10^{-2}) \right) \times (MB^\circ - \widetilde{MB}_A^\circ) = 360^\circ - 6,525779^\circ \dots \times 10^{-7} = 360^\circ - 0,140956'' \dots$$

При определении угла поворота прецессии за *сутки* также дополнительно проявляется  $MB$ :

$$\frac{MB - \tilde{M\tilde{B}}_A}{(90 - MB) \times 10^{-6}} = 366,329451516999... \approx 1 \text{ год в звездных сутках}.$$

**Проявление MB (МЯ) в годовом и суточном вращении Земли.** Для наглядности проявления пропорции МЯ во вращении Земли и движении ее по орбите рассмотрим упрощенную модель движения Земли вокруг Солнца, в которой отсутствует прецессия и нутация и другие тонкости вращений. В этом случае понятие тропического года отсутствует и остается лишь звездный год. Для этой модели год в *звёздных сутках* по числу *суток* имеет ровно на одни *сутки* больше, чем год в *солнечных сутках*. Это обусловлено тем, что *звёздные сутки* отсчитываются относительно неподвижного бесконечно удаленного объекта (звезды), а *солнечные* – относительно центра Солнца, вокруг которого Земля за год совершает ровно один оборот. Соотношение *числа звёздных и солнечных суток* в году можно записать в виде формулы:

$$Q_{\text{зв.сут.}} = Q_{\text{солн.сут.}} + 1,$$

где  $Q_{\text{зв.сут.}}$  – число *звёздных суток* в году,  $Q_{\text{солн.сут.}}$  – число *солнечных суток* в году, а 1 – это один оборот Земли вокруг Солнца.

Возьмем для определенности  $Q_{\text{солн.сут.}}$  для 1900 года, равное 365,25636556 *солн. сут.* (значение взято из [13, с. 35]) и определим, во-первых, на какой угол Земля переместится по орбите за *солнечные сутки* и, во-вторых, на какой угол *солнечные сутки* больше *звёздных суток*.

$$\text{Первое} = \frac{360^\circ \text{орбиты}}{365,25636556 \text{солн.сут.}} = 0,985609106^\circ \dots = 3\,548,1927823'' \dots = 0,0172021240 \dots \text{рад}.$$

$$\text{Второе} = \frac{360^\circ \text{звёздных суток}}{365,25636556 \text{солн.сут.}} = 0,985609106^\circ \dots = 3\,548,1927823'' \dots = 0,0172021240 \dots \text{рад}$$

Численные значения получились равные, чтобы показать это, и была выбрана упрощенная модель.

Эти значения отражаются в современных астрономических величинах. С одной стороны, в астрономии есть понятие среднего сидерического движения Солнца по долготе за *эфемеридные сутки* на 1900 год, равное 3 548,1927823''... [13, с. 34]. С другой стороны, есть симметричное понятие – средняя скорость движения планеты по орбите, выражаемая формулой  $n = \frac{2\pi}{T}$ , где  $2\pi$  – полный угол окружности в радианах, а  $T$  – время периода обращения по орбите (см., например, [14]). Так, для Земли на 1900 год

$$n = \frac{2\pi}{365,25636556 \text{эфемерид.сут.}} = 0,01720212404 \dots \text{рад} = k \times 1,0000014586 \dots,$$

где  $k$  – гравитационная постоянная Гаусса, равная 0,01720209895 *рад* = = 3 548,187607'' = 0,9856076686° [13, с. 31]. Величина гравитационной постоянной Гаусса в основном определяется средней скоростью движения Земли по орбите, поэтому для простоты представления, отбрасывая более тонкие гравитационные эффекты, такие как множитель  $(1 - m/M)^{-1/2}$ , где  $m$  и  $M$  – массы Земли и Солнца, можно допустить такую замену.

Рассмотрим величину угла поворота Земли за *солнечные сутки*, которая получается равной  $360,9856091062^\circ = 1\,299\,548,19278238'' \dots$ . Определим угол за 3 *сутки* и вычтем из него  $1000^\circ$ :

$3 \times 1 \text{солн.сут.} - 1000^\circ = 100^\circ \times 0,8295682731865 \dots = 100^\circ \times (\text{Пр.бМЯ} - 0,0000953110179 \dots) \neq$   
 $= 1,6^\circ \times 51,8480170741586 \dots = 1,6^\circ \times (MB - 0,0059569386 \dots)$  т.е. за *трое солнечных суток* Земля поворачивается на  $1000^\circ$  плюс  $100 \times \text{Пр.МЯ}^\circ$  (такая простота формулы проявления МЯ является ещё одной причиной в пользу выбора в качестве единицы длины МЯ, а не MB м). Поэтому можно сказать, что *угол средних солнечных суток Земли определяется*

**пропорцией МЯ, а значит и МБ.** Более того, можно уточнить:  $0,0059569386... \times 9 = 21,444979027... \times 9 = 193,00481125... = 1/51,812179889... \times 10^{-4}$ , тогда угол *солнечных суток* можно выразить через *МБ* более точно:

$$1 \text{ солн.сут.} = \frac{1}{3} \times \left[ 1,6^\circ \times \left( \text{МБ} - \frac{\text{Пр.1 баз.геогр.фута}}{\text{МБ}} \right) + 1000^\circ \right] = 360,985611666896^\circ \dots = 1\ 299\ 548,2020008'' \dots$$

Для полученного результата можно показать ещё один маркер *МБ* (*МЯ*), который, как и маркер  $\text{МБ}_A$ , происходит от числа  $12^2 = 144$ . Обозначим новый маркер  $\text{МБ}_G \equiv \frac{3 \times (360 + (1 - 0,0144)) - 1000}{1,6} = 51,848$  и  $\text{Пр.бМЯ}_G \equiv 0,03 \times (361 - 0,0144) - 10 = 0,829568$ . Также  $51,848 = (1 + 1 \text{ Пр.баз.геогр.фут} / 2000) \times 51,84$  и  $51,848 = 51,84^\circ + 2 \times 14,4''$ . Назовем новый маркер гравитационным, т.к. он близок к *Пр.МЯ*, определяющей параметры движения Земли вокруг Солнца. Следует отметить ещё один маркер для угла трех суток:

$$\frac{6\ 610}{7\ 968} = \frac{661}{166} \times \frac{1}{4,8} = 0,829568273092369... = \frac{3 \text{ солн.сут.} - 1000}{100} - 9,416833... \times 10^{-11}.$$

Также следует отметить меньший угол в  $\Delta 3:4:5$  (т.е. в треугольнике апофемы 2-й пирамиды на плато Гизы):  $\frac{3}{8} \times 10^{-3} \times \arctg \frac{3}{4} = \frac{3}{8} \times 10^{-3} \times 2\ 212,19385875' \dots = 0,82957269703149... = \frac{3 \text{ солн.сут.} - 1000}{100} + 4,4238449... \times 10^{-6}$ .

Для угла *средних солнечных суток*, числа *солнечных суток* в звёздном году и гравитационной постоянной Гаусса можно записать следующие выражения:

$$1 \text{ солн.сут.} = 12'' \times (10 + \text{Сут.Пр.МЯ}) \times 10^4,$$

$$1 \text{ зв.год в солн.сутках} = \frac{108}{10 \times \text{Год.Пр.МЯ} - 8} = \frac{54}{5 \times \text{Год.Пр.МЯ} - 4},$$

$$k = \frac{2\pi}{54} \times (5 \times \text{Грав.Пр.МЯ} - 4).$$

Где *Сут.Пр.МЯ*, *Год.Пр.МЯ* и *Грав.Пр.МЯ* – пропорции, близкие к пропорции *бМЯ*. Для рассматриваемой упрощенной модели эти три пропорции равны между собой. Для реальных же значений циклов и принятого значения *k* пропорции будут несколько различаться. Рассмотрим это.

**Суточные пропорции МЯ для реальных средних солнечных суток.** Определим значения *Сут.Пр.МЯ* на 1900 год и 2000 год, используя выражение  $\text{Сут.Пр.МЯ} = \frac{1 \text{ средн.солн.сут. в угл.сек.}}{120\ 000''} - 10$ . Для оценочного расчета угла поворота

Земли за *средние солнечные сутки* воспользуемся формулой среднего поворота Земли за *эфмеридные сутки* и формулой *средних солнечных суток* из [13, с. 35]. Тогда формула угла поворота Земли за *средние солнечные сутки* для текущего времени будет иметь вид:

$$1 \text{ средн.солн.сут.} = (1299548,204205'' - 0,0246'' \times T) \times \frac{86400 + 0,0015 \times T}{86400}, \text{ где } T - \text{число лет от}$$

1900 года в столетиях. Так, для 2000 года  $T = 1$ . Тогда

$$\text{Сут.Пр.МЯ на 1900 г.} = 0,829568368375... = \text{Пр.бМЯ} - 9,52158... \times 10^{-5} \text{ и}$$

$$\text{Сут.Пр.МЯ на 2000 г.} = 0,829568351388... = \text{Пр.бМЯ} - 9,52328... \times 10^{-5}, \text{ а}$$

$$\text{Сут.Пр.МЯ на 1900 г.} - \text{Сут.Пр.МЯ на 2000 г.} = 1,69866638... \times 10^{-8}.$$

**Годовые пропорции МЯ для реальных звездных лет.** Сделаем аналогично оценочный расчет *Год.Пр.МЯ* на 1900 год и 2000 год, используя выражение

$$\text{Год.Пр.МЯ} = \left( \frac{54}{1 \text{ зв.год в средн.солн.сут.}} + 4 \right) \times \frac{1}{5}, \text{ где}$$

$$1 \text{ зв.год в средн.солн.сут.} = (365,25636556 + 0,00000011 \times T) \times \frac{86\,400 + 0,0015 \times T}{86\,400}. \text{ Тогда}$$

$$\text{Год.Пр.МЯ на 1900 г.} = 0,829568273186... = \text{Пр.бМЯ} - 9,53110179... \times 10^{-5} \text{ и}$$

$$\text{Год.Пр.МЯ на 2000 г.} = 0,829568272664... = \text{Пр.бМЯ} - 9,53115401... \times 10^{-5}, \text{ а}$$

$$\text{Год.Пр.МЯ на 1900 г.} - \text{Сут.Пр.МЯ на 2000 г.} = 5,2224279... \times 10^{-10}.$$

**Гравитационная пропорция МЯ для гравитационной постоянной Гаусса.**

$$\text{Грав.Пр.МЯ} = \left( \frac{54 \times k}{2\pi} + 4 \right) \times \frac{1}{5} = 0,829568230058... = \text{Пр.бМЯ} - 9,5354146... \times 10^{-5}, \quad \text{где}$$

$k = 0,0172029895$ . По определению гравитационной постоянной Гаусса  $k = \sqrt{G}$ , где  $G$  – коэффициент пропорциональности в законе всемирного тяготения И. Ньютона

$F = G \times \frac{m_1 \times m_2}{r^2}$  при условии, если массу Солнца принять равной единице, среднее

расстояние между Солнцем и Землей – за единицу длины и *средние солнечные сутки* – за единицу времени. Поэтому и гравитационную постоянную  $G$  можно выразить через *Грав.Пр.МЯ*:

$$G = k^2 = \frac{4\pi^2}{54^2} \times (5 \text{ Грав.Пр.МЯ} - 4)^2 = \frac{16}{729} \times \pi^2 \times (1,25 \text{ Грав.Пр.МЯ} - 1)^2 = 0,000295912175... \approx$$

$$\approx 3 \times \pi^2 \times 10^{-5} = 0,000296088132...$$

Для краткости стоит лишь заметить, что гравитационная постоянная Гаусса в САП МАС (Система астрономических постоянных Международного астрономического союза) 1976 года принята единственной определяющей постоянной.

Также следует отметить проявление *МБ (МЯ)* для гравитационной постоянной Кавендиша  $G_k$ . В САП МАС 1976 г. принято  $G_k = 6,672 \times 10^{-11} \frac{\text{м}^3}{\text{кг сек}^2}$  с пределами

истинного значения от  $6,668 \times 10^{-11}$  до  $6,676 \times 10^{-11}$ . Это значение довольно просто представляется через значение *1 зв. года в солн. сутках на 1900 год*:

$$\frac{1}{2} \times (365,25636556 \times 10^{-2})^2 = 6,670610629... .$$

Используя ранее полученное соотношение  $1 \text{ зв.года в солн.сутках} = \frac{54}{5 \text{ Год.Пр.МЯ} - 4}$ ,

можно  $G_k$  выразить через *Год.Пр.МЯ*:

$$G_k = \frac{1}{20\,000} \times \frac{13,5^2}{(1,25 \text{ Год.Пр.МЯ} - 1)^2} \times 10^{-11},$$

откуда можно получить значение *Пр.МЯ* при  $G_k = 6,672 \times 10^{-11}$ :

$$\text{Пр.МЯ} = \sqrt{\frac{1008 \times 0,0003 \times 10^{-11}}{\tilde{МБ}_7 \times G_k}} + 0,8 = \sqrt{\frac{1,2 \times 2,1 \times 1,2 \times 10^{-12}}{\tilde{МБ} \times G_k}} + 0,8 = 0,82956519...,$$

а  $0,82956519... + 1 \text{ Пр.баз.геогр.фута} \times 10^{-5} = 0,82956828... -$  это близко к *Год.Пр.МЯ* на 1900 год.

Можно привести ещё одно числовое соотношение между  $G_k$  и *МБ*:

$$6,672 \times \frac{7}{9} \times 10 = 51,89(3) \text{ или } \text{МБ} \times \frac{9}{70} = 6,666939516...,$$



а  $9/7 = 1,2857(142857)$  – это отношение катетов в прямоугольном треугольнике на плато Гизы, в котором гипотенузой является отрезок между центрами оснований 1-й и 3-й пирамид и катеты параллельны направлениям юг–север и восток–запад (см. ниже рис. 20). Точнее, на основании данных от Ф. Петри, это отношение у треугольника Гизы равно  $\frac{739,1908_m}{574,4464_m} = 1,286788115... = \text{tg } 52,1481948^\circ...$ , что довольно точно соответствует отношению  $6,672/MB = 10^{-1} \times 1,286690196... = \text{tg } 52,146008225^\circ...$ , т.е. если малый катет треугольника равен  $MB \times 10^{-12}$ , то большой катет равен  $G_k$ .

Из расчетов видно, что три пропорции *Сут.Пр.МЯ*, *Год.Пр.МЯ* и *Грав.Пр.МЯ*, полученные от реальных значений, имеют постоянную составляющую, равную  $Пр.бМЯ_G$ , различия начинаются с 7-го знака после запятой, т.е. начинаются с десятых долей микрона, если считать в метрах. Первые две пропорции во времени весьма стабильны. Из них выделяется годовая, которая за сто лет меняется на величину, сопоставимую с ангстремами. Такая стабильность указывает на фундаментальность *МБ* и является одним из оснований для рассмотрения проблемы выбора эталонной меры длины.

Главным является то, что *МБ* проявляется в небесных циклах, является пропорцией, определяющей круги времени, т.е. *МБ* изначально проявляется во времени. Боги же, отобразив в длине пропорцию от времени, создали меру длины *МЯ*. Сделано это было для того, чтобы длины-формы-материя-тела жили в гармонии с Первородным Всевышнего («будьте как дети»), чтобы не допускать преждевременной гибели. Именно эта фундаментальная идея лежит в основе постройки пирамид, храмов и городов Древнего Египта, идея отображения неба на земле. Именно благодаря этому цивилизация Древнего Египта просуществовала более 3 тысяч лет (не считая доисторического периода), пока её не разрушили и не разворовали варвары. Варвары сильнее? Нет! Древний Египет разрушен по одной основополагающей причине – с уходом богов их наука стала постепенно забываться людьми (хотели властвовать, как боги, и стали держать в тайне науку богов). Символы остались, а дух ушёл. Без духа же тело цивилизации разлагается (общество деградирует), и тому можно привести еще примеры. Но до сих пор символы богов по всей земле излучают угасающий, но не гаснущий свет знания о Всевышнем. Длину можно пощупать, а время нет, длина материальна, а время нет, но длина иллюзорна, а время реально. В «Космологии богов» и «Единой системе мер богов» развернуто на языке математики показывается взаимообусловленность времени и длины.

### Проявление *МБ* (*МЯ*) в поле силы тяжести и форме Земли

Рассмотрим реальное изменение силы тяжести на поверхности Земли в зависимости от широты места. Возьмем Международную формулу нормального значения силы тяжести 1967 года:

$$\gamma_{1967} = 9780,318 \times (1 + 0,0053024 \times \sin^2 \varphi - 0,0000059 \times \sin^2 2\varphi) \text{ мм/сек}^2,$$

где коэффициенты при  $\sin^2$  найдены для международного сфероида с полярным сжатием  $f = 1/298,26$ , а  $\varphi$  – географическая (астрономическая) широта. Тогда сила тяжести на экваторе ( $\varphi = 0^\circ$ )  $\gamma_e = 9780,318 \text{ мм/сек}^2$  и на полюсе ( $\varphi = 90^\circ$ )  $\gamma_p = 9832,177158... \text{ мм/сек}^2$ , а избыток силы тяжести на полюсе над силой тяжести на экваторе

$\Delta\gamma_{p-e} = 51,859158... \text{ мм/сек}^2 = 0,82974653.../0,016 \text{ мм/сек}^2 \approx MB \times 1,0001 \text{ мм/сек}^2 = 51,85915941... \text{ мм/сек}^2$ , т.е. значение разности весьма близко к *МБ*. Поскольку сила тяжести, отнесенная к единичной массе, дает ускорение свободного падения  $g$ , то далее

будет указываться ускорение  $g$ . Так же и  $g_p$ , как и избыток силы тяжести, с помощью простого множителя выражается через  $МБ$  ( $МЯ$ ):

$$g_p = \frac{16}{135} \times 10^7 \times 0,829589947... мГал = 7^{-1} \times 10^7 \times (0,8296097884...) мГал = 983217,7158... мГал.$$

Используя полученное и маркеры  $МБ$  ( $МЯ$ ), для  $g_p$  и  $g_e$  можно привести довольно точные формулы:

$$g_p = \frac{16^2}{1,35} \times 100 \times \left( М\tilde{Б}_G + \frac{1}{729} \right) = Пр.бМ\tilde{Я}_7 \times 7^{-1} \times 10^7 \times \left( Пр.бМ\tilde{Я}_G + \frac{0,016}{729} \right) = 983217,715998...,$$

$$g_e = 100 \times \left( \frac{16^2}{1,35} \times \left( М\tilde{Б}_G + \frac{1}{729} \right) - МБ \right) = 978032,318597....$$

А учитывая, что формула для  $\gamma_{1967}$  является уточнением формулы Клеро для распределения силы тяжести от широты, можно получить следующее соотношение:

$$c_e - 0,4 \times f \times g_e \approx 40 \times МБ,$$

где  $c_e$  – центростремительное ускорение на экваторе.

Сфероид Земли можно представить через изменение длины дуги угловой минуты меридиана от широты места  $L_1(\varphi)$ . Для расчета длины можно использовать формулу для длины  $1^\circ$  широты  $L_1$  из [13, с. 167]:

$$L_{1^\circ} = 111,1334 - 0,5594 \times \cos 2\varphi + 0,0012 \times \cos 4\varphi \text{ км}.$$

Откуда длина дуги угловой минуты меридиана на экваторе  $L_{1^\circ e} = 1842,92 \text{ м}$  и на полюсе  $L_{1^\circ p} = 1861,5(6) \text{ м}$ , а избыток длины на полюсе  $\Delta L_{1^\circ p-e} = 18,64(6) \text{ м}$ . Графики  $g(\varphi)$  и  $L_1(\varphi)$  подобны, и их можно назвать змеями-близнецами, смотреть на рисунке 10.

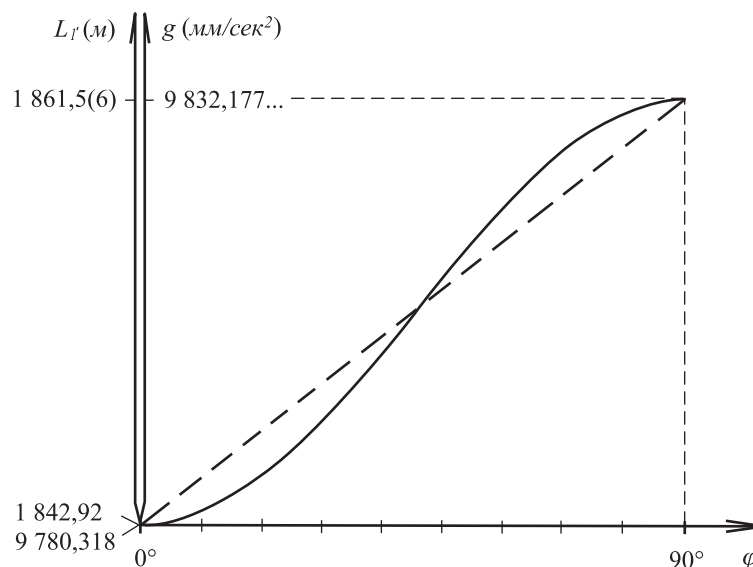


Рис. 10

Изменение  $L_1(\varphi)$  обусловлено полюсным сжатием Земли-шара, а правильное будет сказать – экваториальным растяжением. САП МАС 1976 г. устанавливает сжатие Земли  $f = 0,00335281 = 1/298,257$  и экваториальный радиус Земли  $a = 6\,378\,140 \text{ м}$ . По определению  $f = (a - b)/a$ , поэтому полярный радиус  $b = 6\,356\,755,3 \text{ м}$ . Полярную окружность Земли  $P_p$  можно рассчитать по формуле  $P_p = \pi \times (a + b) = 40\,007\,853,5 \text{ м}$ , хотя эта формула и приближительная, но она дает значение  $P_p$  лишь на 28,2 м меньше, чем точная формула, т.е. будем считать реальным  $P_p = 40\,007\,881,7 \text{ м}$ .

Ранее исследователями уже было замечено соответствие между длиной основания Великой пирамиды и длиной угловой минуты по меридиану на экваторе. Среднее

значение, вычисленное Коулом для двойной величины периметра, равно 1842,91 м [6, с. 248], а  $L_{p-e} = 1842,92 м$ , как показано выше.

В текстах древних греков (Геродот, Агатархид Книдский и другие) засвидетельствовано, что Великая пирамида представляет собой географическое отображение Северного полушария [6, с. 246]. Современниками уточняется, что пирамида является картографической проекцией полушария с масштабом 1 : 43 200 [6, с. 461]. Это представление стало общепринятым, но сопоставление размеров Земли и пирамиды в рамках этого представления сразу указывает на то, что это представление является натяжкой. Да, действительно, пирамида отображает параметры Земли и основание пирамиды соотносится с экватором, но существенным является то, как именно это сделано богами и какие именно параметры отображаются. И опять же, чтобы увидеть это отображение, нужно обратиться к фундаментальной пропорции  $4/\pi$  или  $MB$ .

### Базовая параметрическая модель Земли Богов или основы теории тяготения и формы Земли

Обратимся к базовой модели Великой пирамиды, выведенной выше. Рассмотрим в ней треугольник апофемы  $\Delta SE$  под углом зрения  $MB$ . Построим на сторонах этого треугольника полуквадраты. Стороны квадратов, умноженные на простые множители с участием числа 16, дают базовые значения параметров Земли, определяющих гравитационное поле и сфероид Земли. Просто и полно базовую параметрическую модель Земли лучше выразить не словами, а через геометрическое представление (см. рис. 11), и/или через операционную систему равенств (см. рис. 12).

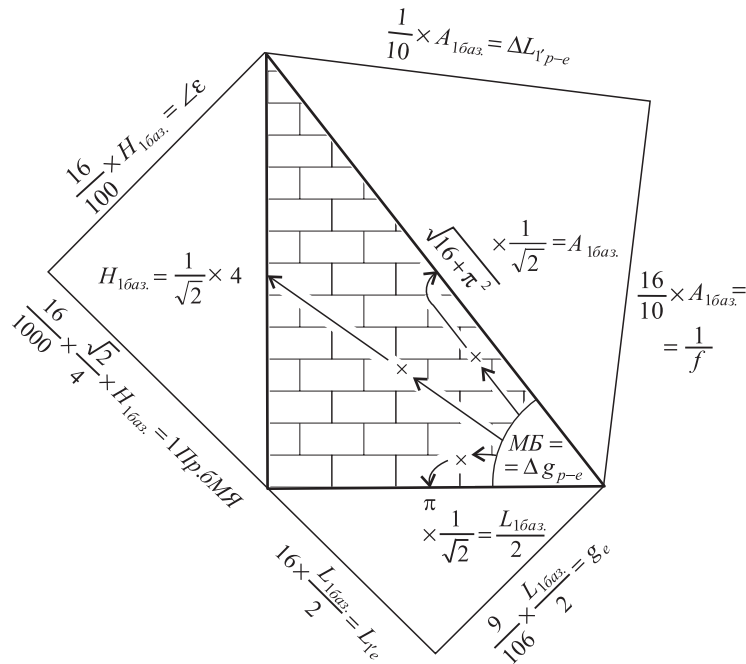


Рис. 11

Расположение параметров на сторонах  $\Delta SE$  соотносится с их расположением на Земле. Экваториальные  $g_e$  и  $L_{p-e}$  получаются из стороны основания пирамиды. Изменение длины дуги меридиана  $\Delta L_{p-e}(\varphi)$ , происходящее на поверхности Земли, соотносится с апофемой, лежащей на поверхности пирамиды. Изменение силы тяжести  $\Delta \gamma_{p-e}(\varphi)$ , обусловленное массой Земли, соотносится с  $\angle \beta_1 = MB^\circ$ , который охватывает своими сторонами всю массу тела пирамиды. Угол наклона оси Земли (наклон эклиптики к экватору)  $\varepsilon$  привязан к высоте пирамиды, которая по своему расположению в теле

пирамиды символизирует ось вращения Земли. Число 16 участвует не только в образовании из *МБ* пропорции *бМЯ*, но и в образовании  $L_{V'e}$ ,  $f$  и  $\epsilon$ . Число 106 было хорошо известно в Древнем Египте: 106 атуров составляли длину Египта [6, с. 405], и  $2 \times 106\ 000\ \text{бЛКЛ} = 212\ 000\ \text{бКЛ} = 111\ 002,9404\dots\text{м}$  – это близко к средней длине градуса широты [6, с. 406], точнее градуса вблизи  $39^\circ$  с.ш., а  $405\ \text{бКЛ} = 212,0575041\dots\text{м}$ .

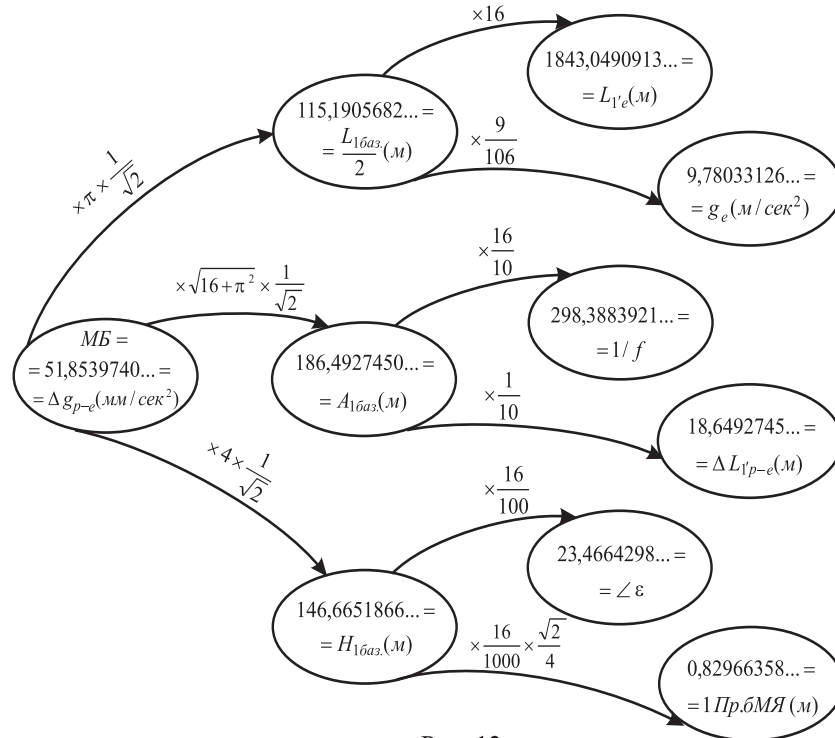


Рис. 12

Треугольник SE дает набор параметров даже избыточный для описания сфероида, поскольку  $L_{V'e}$  и  $\Delta L_{V'p-e}$  дают (величину полярного сжатия)<sup>-1</sup>  $1/f = 298,478318\dots$ , что на 0,09 больше величины  $1/f$  от гипотенузы из набора. А получаемые из  $L_{V'e}$  и  $\Delta L_{V'p-e}$  полуоси сфероида  $a = 6\ 378,6052926\dots\text{км}$  и  $b = 6\ 357,23487844\dots\text{км}$  дают длину полярной окружности  $P_p = \pi \times (a + b) = 40\ 010,8219187\dots\text{км}$ , в которой усматривается наличие *Пр.МЯ*.

Выберем размер *метра* путем деления полярной окружности земного сфероида на  $4 \times 10^7$  равных частей. Строго говоря, условия выбора следующие. Выберем окружность с диаметром, равным  $\frac{4}{\pi} \times 10^7$ , т.е. с длиной окружности, равной  $4 \times 10^7$ , и примем условие равновеликости длины окружности и периметра полярного эллипса земного сфероида. (Следует отметить, что, вообще говоря, с формальной позиции равновеликими можно выбрать и площади окружности и эллипса, и объемы шара и сфероида, и длины диаметра окружности и суммы малой и большой полуосей эллипса.) Тогда для  $1/f = 298,388392145\dots$  и выбранных условий имеем  $a = 6\ 376\ 883,26546\dots\text{м}$  и  $b = 6\ 355\ 512,1818898\dots\text{м}$ . Между выбранным размером *метра* и используемым (выше полученным из САП МАС 1976 г.) имеем коэффициент  $K = \frac{40\ 007\ 881,7\ \text{м(используемый)}}{40\ 000\ 000\ \text{м(выбранный)}} = 1,0001970425$ , т.е. современный *метр* на 0,2 мм

меньше того *метра*, который законодатели *метра* намеревались выбрать.

Сравним значения из базовой параметрической модели со значениями из САП МАС 1976 г. и формулы для  $\gamma_{1967}$ , смотреть в таблице 2.

Таблица 2

	Баз. парам. модель	Баз. парам. модель $\times K$	САП МАС 1976 г. и $\gamma_{1967}$
$1/f$	298,38839...	–	298,257
$a$	6 376 883,265...	6 378 139,782...	6 378 140
$b$	6 355 512,181...	6 356 764,487...	6 356 755,288
$\varepsilon$	23,4664298...	–	23,43929(1) в 2000 г. 23,45229(4) в 1900 г.
$g_e$	9,78033126...	–	9,780318
$g_p$	9,83218523...	–	9,8321772

Из таблицы видно, что базовая параметрическая модель богов дает значения, весьма близкие к современным используемым данным, и эти значения исходят лишь от одного прямоугольного треугольника SE, который можно назвать и базовым треугольником Земли. С позиции формальной математики и современной физики такое соответствие между параметрами Земли и  $\Delta SE$  выглядит необъяснимым чудом, с позиции же науки богов это соответствие является обоснованным результатом. Решение богами геофизической задачи выглядит столь красиво, что для показа этого решения вполне обоснованным выглядит труд по укладке в пирамиду нескольких миллионов тонн камня.

Замечательным является то, что четверть любого меридиана (от экватора до полюса) можно представлять треугольником SE с небольшими соответствующими поправками, и тем самым дать точное и полное описание поля тяжести и формы Земли и уйти от задачи выбора универсального эллипсоида. Понятно, что дальнейшее развитие модели Земли богов здесь неуместно, поскольку целью является лишь показ проявления фундаментальной пропорции  $4/\pi$  или MB, тем более что модель Земли должна основываться на «Единой системе мер богов», а не только лишь на одном её фрагменте, которым является настоящее описание. Реальные размеры Великой пирамиды несколько отличаются от размеров её базовой модели, а правильнее будет говорить об отличии пропорций. Поскольку пирамида отражает реальные параметры Земли, то в ней не может быть двух одинаковых пропорций, т.е. пирамида представляет собой чуть неправильной формы квадрат и неправильные треугольники. Это объясняется тем, что по мере проявления Всевышнего изначально математически правильные (базовые) пропорции постепенно немного изменяются, но сами образы в основе своей остаются неизменными и подобие им сохраняется на всех уровнях проявления. Отображение в каменных монументах этих незначительных реальных отклонений создает трудности в распознавании образов, заложенных в монументы богами и их последователями. Практически невозможно их увидеть лишь посредством рационального перебора чисел, не имея хотя бы самых общих представлений о Всевышнем и законах его развития. Тем самым для прочтения каменных книг богов необходимо в полной мере использовать метод герменевтического круга.

Выше уже обращалось внимание на  $g(\varphi)$  и  $L_1(\varphi)$ , как на змей-близнецов, т.е. зависимость между ними близка к линейной. Этому можно привести геометрическую интерпретацию, см. рис. 13.

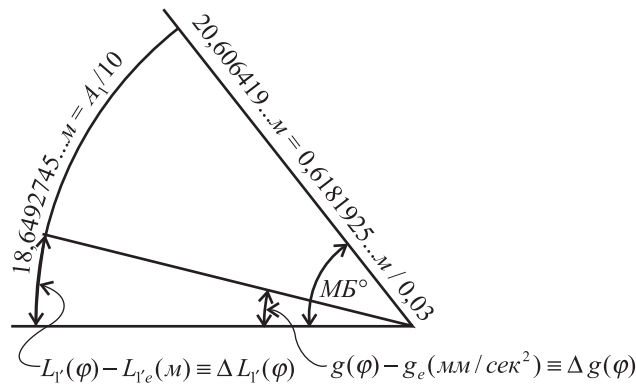


Рис. 13

Тогда  $g(\varphi) = \frac{Pr.L_{1e}(m)}{188,(4)} + \frac{Pr.L_1(\varphi)(m) - Pr.L_{1e}(m)}{360} \frac{m}{сек^2}$ , где 188,(4) и 360 являются маркерными делителями:

$$188,(4) = \frac{1}{0,0053006603...} = \frac{8}{9} \times 212 \approx 60 \times \pi = 188,495559... \approx \frac{1842,92}{9,780318} = 188,431506968... \text{ и}$$

$$360 \approx 100 \times \sqrt{8 + \pi^2 / 2} = 100 \times 3,5964986... \approx \frac{18,64(6)}{0,051859158...} = 359,5636215... , \text{ а}$$

$$188,(4) / 360 = 0,52345679... = 3,14(074) / 6 .$$

Зная эту зависимость и имея шест (обелиск) и маятник, можно в любой точке Земли получить нужную меру длины. По отношению длины шеста, установленного вертикально на известной высоте над уровнем моря, к длине отбрасываемой им тени для данного времени года (для определенного положения Земли на орбите) можно определить широту места. Для широты найти  $L_1$  по известной формуле и по приведенной выше зависимости определить  $g$ , а, зная  $g$  и используя стабильную скорость вращения Земли, на длине маятника можно установить искомую меру длины.

Рассмотрим, например, маятник от Ф. Петри, считавшего, что отправной точкой древней системы единиц измерения является длина маятника/отвеса. Петри установил, что на широте Мемфиса ( $29,85^\circ$  с.ш.), маятник, совершающий 50 000 колебаний (100 000 отклонений) в день, будет иметь длину 0,74057 м. Тогда сторона квадрата с диагональю, равной длине маятника, будет иметь длину *королевского локтя*, равного:  $0,74057 м / \sqrt{2} = 0,523662068... = 3,141972414... / 6$  [6, с. 382]. Кстати, период колебания такого маятника  $T = 86\,400 \text{ сек} / 50\,000 \text{ колебаний} = 1,728 \text{ сек} = 51,84 \text{ сек} / 30 = \tilde{M\ddot{B}}_A \text{ сек} / 30$ . Этот квадрат подобен квадрату, показанному на рисунке 9г, т.е. если длину маятника отложить 112 раз, то  $0,74057 м \times 112 = 82,94384 м = 100 \times \text{МЯ}$ . Понятно, что для получения значений 1 бКЛ и 1 бМЯ не надо разъезжать по Египту, меры можно получить в одном месте, установив нужное число колебаний в день.

### Кратко о некоторых других проявлениях МБ (МЯ) в физических параметрах Земли и Луны

1.  $1 \text{ зв.год в средн.солн.сут. (эфемеридные сутки) в } 1900 \text{ г.} = 365,25636556 d_E \approx \frac{18\,940}{M\ddot{B}} - \frac{\pi^2}{86\,400} = 365,256479577... - \frac{\pi^2}{86\,400} = 365,2563653457... .$

2. Средний поворот Земли за эфемеридные сутки в 1900 г.  $= 1\,299\,548,204205'' = 1\,200\,000'' + 99\,548,204205''$  [13, с. 35]. Тогда  $99\,548,204205 / 86\,400 = 230,4356579... / 200$

и  $99\,548,204205 \times 365,25636556 \times 86\,400 = 3,14155715897... \times 10^{12}$  или

$$\frac{2}{864^2} \times \frac{\pi \times 10^{10}}{365,25636556} = 230,438261439... - \text{близко к длине основания Великой пирамиды.}$$

$$3. \text{Пр.бМЯ} \times 365,25636556 = 303,0399054... = 300 \times 1,010133018... \approx$$

$$\approx \frac{L_{V_p}}{L_{V_e}} = \frac{1861,5(6)_M}{1842,92_M} = 1,010118001... \quad \text{и} \quad \text{Пр.бМЯ} \times 365,25636556 \times 0,00864 = 2,61826478... \approx$$

$$\approx AN^2 + \frac{3}{13\,000} = 2,61826475..., \text{ где } AN \equiv \frac{\sqrt{5}+1}{2} = 1,618033988...$$

4. Период обращения Земли (относительно неподвижных звезд) в 1900 г.  $\div$   
 $\div 1 \text{ эфемеридные сутки} = 1,002737811$  [13, с. 33]  $\approx 1 + 52,8 \times MB \times 10^{-6} = 1 + 52,32484905^2 \times$   
 $\times 10^{-6} = 1,0027378898... = 1 + 1/365,2447917... \dots$  Разность углов поворота:  $1 \text{ средн. солн. сут.} -$   
 $- 1 \text{ зв. сут.} = 3\,548,3301'' \dots$  (на 1994 г.)  $\approx 52,8 \times MB \times 360 \times 60 \times 60 \times 10^{-6} = 3\,548,3052169..., \text{ а}$

$$52,8 = 230,4 \times \frac{5,5}{24} = \frac{1 \text{ англ.миля}}{100 \text{ англ.футов}} = \frac{1609,344_M}{100 \times 0,3048_M} \approx \frac{g_p}{L_{V_p}} = 52,81668... \left( 10^{-4} \frac{1}{\text{сек}^2} \right) \approx$$

$$\approx H_{1_{\text{баз.}}} \times 0,36 = 146,6651866...(M) \times 0,36 = 52,79946718...(M) \approx L_{3_{\text{баз.}}} / 2 = 52,8170468...(M)$$

(обозначение  $L_{3_{\text{баз.}}}$  смотреть ниже). Также  $52,8 \times MB \times \frac{1 \text{ Пр.баз.геогр.фута}}{86\,400} =$

$$= 10^{-3} \times 9,780413478... \approx 10^{-3} \times g_e (M/\text{сек}^2) \text{ и } \text{tg} 1,28 = 52^\circ + 0,001267557^\circ... = 52^\circ + 10^5 \times$$
  
 $\times 0,0027379241899''... = 52^\circ + 10^5 \times 1'' / 365,240207774... \cdot$

5. 1 тропический год в *средн. солн. сут.* в 1900 г.  $= 365,242198781 d_E \approx 365 \times$   
 $\times (8 \times 10^{-4} \times \text{Пр.бМЯ} + 1) = 365,242261766..., \text{ а } 52 \text{ года} - MB \text{ лет} = 0,146025987... \text{ года} =$   
 $= 0,146025987... \times 365,242198781 \text{ сут.} = 53,334852607... \text{ сут.} = 160,00455782... \text{ сут.} / 3 \approx$   
 $\approx \frac{1}{3} \times \left( 160 \text{ сут.} + \frac{365,2421988 \text{ сут.}}{8 \times 10^{-4}} \right) = 160,00456552... \text{ сут.} / 3 \approx 160 / 3 \approx 3 \text{ старорусских пяди} =$   
 $= 3 \times 17,78 \text{ см} = 53,34 \text{ см} = 21 \text{ английский дюйм} = 21 \times \frac{1,6002}{63} \text{ метра} .$

$$6. 32 \text{ маркера года Платона} = 32 \times 25\,920 \text{ лет} = 829\,440 \text{ лет} .$$

$$7. \text{Динамический форм-фактор Земли } J_2 = \frac{C - A}{M \times a_e^2} = 1,0826359 \times 10^{-3} =$$

$= 1,0826359 \times 10^{-3} = (1 + 10^{-1} \times \text{Пр.МЯ}_{J_2}) \times 10^{-3}$ , где  $C$  и  $A$  – моменты инерции относительно полярной и экваториальной осей (для сфероида или двухосного эллипсоида),  $M$  – масса Земли.  $J_2$  – наибольший коэффициент зональных гармоник в разложении гравитационного потенциала по сферическим функциям, характеризующий динамическое полярное сжатие Земли.

$$8. \text{Пр.бКЛ} \times \text{Пр.бМЯ} = 0,434410368... = \text{tg } 23,4806487^\circ... =$$
  
 $= \text{tg} (23,46642986^\circ... + 51,1880508''...) = \text{tg } \varepsilon .$

$$9. \frac{S_{\text{суши Земли}} [13, \text{с.167}]}{S_{\text{поверхности океанов Земли}} [13, \text{с.167}]} = \frac{1,49 \times 10^{18} \text{ см}^2}{3,61 \times 10^{18} \text{ см}^2} = 0,412742382... = 0,5 \times 0,825484764....$$

10. 1 синодический месяц Луны [13, с. 35]  $= 29,5305882 d_E \equiv 1 \text{ син} , \text{ а}$   
 1 сидерический месяц Луны [13, с. 35]  $= 27,32166140 d_E \equiv 1 \text{ сид} .$  Тогда

$$1 \text{ син} \times 1 \text{ сид} = 806,8247317... d_E^2 \approx \frac{10^{13}}{2 \times 86\,400^2 \times \text{Пр.МЯ}_7} - 10^{-2} \times MB = 806,8247969....$$

$$\begin{aligned}
 11. \quad 1 \sin - 1 \text{сид} &= 2,2089268 d_E = 1,9085127552 \times 10^5 s_E = \frac{6 \times 10^5 s_E}{3,14380922...} = \\
 &= \text{Пр.бКЛ}^{-1} \times 86\,400^{-1} \times 10^5 - 3 \times 10^{-5} \times 51,95068667... = 10^5 \times \frac{3}{2} \times \text{tg } 51,83434235^\circ \dots \approx \\
 &\approx 10^5 \times \frac{3}{2} \times \text{tg } \text{МБ}^\circ.
 \end{aligned}$$

$$\begin{aligned}
 1 \text{зв.год в средн.солн.сут. в } 1900 \text{г.} &\approx \frac{1 \sin \times 1 \text{сид}}{1 \sin - 1 \text{сид}} = \left( \frac{1}{1 \text{сид}} - \frac{1}{1 \sin} \right)^{-1} = 365,2564366... \approx \\
 &\approx \frac{18\,940}{\text{МБ}} = 365,2564795....
 \end{aligned}$$

$$12. \quad 5,2 \text{ лунных года} = 5,2 \times 12 \text{ син} = 1842,7087036 d_E \approx L_{1'e} = 1842,92 (\text{м}).$$

Приведенные выше примеры проявления *МБ (МЯ)* и фундаментальность вывода пропорции указывают на широкий спектр физических явлений проявления пропорции и прежде всего на проявления пропорции в физике небесных тел. Это вполне объясняет и обуславливает использование древними строителями-астрономами в качестве меры длины *мегалитический ярд*, широкая территориальная распространенность которого при строительстве мегалитических сооружений в каменном веке показана Александром Томом.

### Математические проявления *МБ (МЯ)*

Угол в треугольниках:

$$\begin{aligned}
 \text{МБ} &= \arctg(4/\pi = 1,2732395447...) &= 51,8539740127 = \frac{0,8296635842...}{0,016}; \\
 &\approx \arccos(1/AN) + 1,6' &= 51,8539590396... \Rightarrow 0,8296633446...; \\
 &\approx \arctg\left(\frac{10}{3 \times AN^2} = 1,2732200375...\right) &= 51,8535475978... \Rightarrow 0,8296567615...; \\
 &\approx \arctg\left(\frac{11}{8,64} = 1,273(148)\right) &= 51,8519760754... \Rightarrow 0,8296316172...; \\
 &\approx \frac{1}{1,6} \times \arctg 8,1 &= 51,8512870230... \Rightarrow 0,8296205923...; \\
 &\approx \arctg\left(\frac{5}{9} \times \sqrt{2 - 0,00055} = 0,7855661636...\right)^{-1} &= 51,8480211288... \Rightarrow 0,8295683380...; \\
 &\approx \frac{1}{1,6} \times \arctg(5 \times AN = 8,0901699374...) &= 51,8459960119... \Rightarrow 0,8295359361...; \\
 &\approx \arctg\left(\frac{14}{11} = \frac{4}{22/7} = 1,(27)...\right) &= 51,8427734126... \Rightarrow 0,8294843746...; \\
 &\approx \arctg(\sqrt{AN} = 1,2720196495...) &= 51,8272923729... \Rightarrow 0,8292366779...; \\
 &\approx \arctg\left(\left(10 \times \left(\frac{2}{3} \times AN - 1\right)\right)^{-1} = 1,2708203932...\right) &= 51,8010313012... \Rightarrow 0,8288165008...; \\
 &\approx \arctg\left(\frac{80}{63} = \frac{80}{7 \times 9} = 1,(269841)\right) &= 51,7795679451... \Rightarrow 0,8284730871...;
 \end{aligned}$$



$$\approx \arcsin\left(\frac{\pi}{4} = 0,7853981633\dots\right) = 51,7575185160\dots \Rightarrow 0,8281202962\dots$$

Для  $\Delta\sqrt{1} : \sqrt{2} : \sqrt{3}$ :

$$\approx (0,16 \times \cos(32 \times PL^\circ - 540^\circ))^{-1} = 51,8673703546\dots \Rightarrow 0,8298779256\dots,$$

где  $PL^\circ = \arctg\sqrt{2} - \arctg 1/\sqrt{2} = \arcsin 1/3 = 19,47122063449^\circ\dots$ ;

$$\approx \frac{13 \times \arctg 1/\sqrt{2} + 112 \times 10^5}{216000} = 51,8539742456\dots \Rightarrow 0,8296635879\dots$$

Для  $\Delta 3 : 4 : 5$ :

$$\approx \left(\frac{\arctg 3/4}{4} - \frac{10 + 2 \text{Пр.баз.геогр.фута}}{216000}\right) \times \frac{9}{1,6} = 51,8480170726\dots \Rightarrow 0,8295682731\dots$$

Простые числа:

$$\approx \frac{90}{\sqrt{3}} = 30 \times \sqrt{3} = 51,9615242270\dots \Rightarrow 0,8313843876\dots;$$

$$\approx \frac{370 - 7}{7} = 51,857(142857) \Rightarrow 0,8297(142857);$$

$$\approx \frac{110 \times \sqrt{2}}{3} = \frac{5280}{72 \times \sqrt{2}} = \sqrt{2688, (8)} = 51,8544972870\dots \Rightarrow 0,8296719565\dots;$$

$$\approx \frac{9 \times 11000 - 1}{1350 \times \sqrt{2}} = 51,8539735042\dots \Rightarrow 0,8296635760\dots;$$

$$\approx \left(\frac{10,8 \times \sqrt{30}}{2000} + 0,8\right) \times \frac{1}{0,016} = 51,8485636315\dots \Rightarrow 0,8295770181\dots;$$

$$\approx \frac{180}{216 + 1} \times \frac{1}{0,016} = 51,8433179723\dots \Rightarrow 0,8294930875\dots;$$

$$\approx \frac{2 \times (\sqrt{2} - 1)}{0,016} = 51,7766952966\dots \Rightarrow 0,8284271247\dots;$$

$$\approx \frac{360}{7} = 51,42(857142) \Rightarrow 0,822(857142).$$

Пропорция  $\pi$ :

$$\approx 5 \times 11 - \pi = 51,8584073464\dots \Rightarrow 0,8297345175\dots;$$

$$\approx 44 + \frac{\pi}{0,4} = \frac{52,8 + 3\pi}{1,2} = 51,8539816339\dots \Rightarrow 0,8296637061\dots;$$

$$\approx \frac{2^9}{\pi^2} - \frac{2}{89} = 51,8539741147\dots \Rightarrow 0,8296635858\dots;$$

$$\approx \frac{1400}{27} \times \left(1 + 10^{-4} \times \frac{9}{7} \times \frac{1}{\pi}\right) = 51,8539739177\dots \Rightarrow 0,8296635826\dots;$$

$$\approx 36(6) \times \sqrt{2} - \frac{\pi}{6} \times 10^{-3} = 51,8539736882\dots \Rightarrow 0,8296635790\dots;$$

$$\approx \frac{2 \times \text{tg} 52,5^\circ}{\pi} \times \frac{1}{0,016} = 51,8536900126\dots \Rightarrow 0,8296590402\dots;$$

$$\approx \frac{\sqrt{2}}{0,016} \times \text{tg} \frac{300^\circ}{\pi^2} = 51,8495774921\dots \Rightarrow 0,8295932398\dots;$$

$$\approx \frac{1/\pi + 3}{4} \times \frac{1}{0,016} = 51,8485919716\dots \Rightarrow 0,8295774715\dots;$$

$$\approx \frac{3}{2} \times 11 \times \pi = 51,8362787842... \Rightarrow 0,8293804605... .$$

$$\text{Пропорция } AN \left( AN \equiv \frac{\sqrt{5}+1}{2} = 1,618033988... \right):$$

$$\approx 45 + AN^4 = 51,8541019662... \Rightarrow 0,8296656314...;$$

$$\approx \frac{3}{1+AN^2} \times \frac{1}{0,016} = \frac{h_{\text{грani икосаэдра}}}{h_{\text{грani додекаэдра}}} \times \frac{1}{0,016} = 51,8237254218... \Rightarrow 0,8291796067... ,$$

где  $h$  – высоты граней икосаэдра и додекаэдра, вписанных в одну сферу.

#### Глава 4. Проявление *МБ (МЯ)* в Гизехском пирамидальном комплексе

Выше было показано проявление *МБ* в 1-й пирамиде комплекса, называемой Великой пирамидой или пирамидой Хуфу (Хеопса). Теперь рассмотрим проявление *МБ* в геометрии всего комплекса, при этом ограничимся рассмотрением 5 наибольших объектов:

- 1 объект – 1-я, северная пирамида;
- 2 объект – 2-я, средняя пирамида (Хафре, Хефрена);
- 3 объект – 3-я, южная пирамида (Менкаура, Микерена);
- 4 объект – Большой Сфинкс;
- 5 объект – объект, расположенный на расстоянии  $\sim 385$  метров к западу от 2-й пирамиды.

#### Базовая математическая модель трех пирамид

К базовой модели 1-й пирамиды осталось показать модели 2-й и 3-й пирамид. Размеры рассматриваемых пирамид однозначно определяются размерами их апофемных треугольников, а в треугольниках – нижними углами  $\beta_i$  и нижними катетами  $L_i/2$ . Обозначение параметров апофемного треугольника показаны на рис. 14.

Для 1-й пирамиды выбран в качестве базового треугольника  $\Delta SE$  со значениями параметров:

$$\beta_1 = \arctg(4/\pi = 1,27323954...) = 51,8539740°... \Rightarrow \gamma_1 = 38,1460259°... \text{ и}$$

$$L_1/2 = \frac{\pi}{\sqrt{2}} \times \beta_1 = 115,1905682...(м) \Rightarrow L_2 = \sqrt{2} \times \pi \times \beta_1 = 230,38113641...(м) .$$

Для 2-й пирамиды выберем  $\Delta 3:4:5$  с параметрами:

$$\beta_2 = \arctg(4/3 = 1,(3)) = 53,13010235°... \Rightarrow \gamma_2 = 36,86989764°... \text{ и}$$

$$L_2/2 = \frac{1}{2} \times 22,5 \times 25\,920 \times 10^{-5} \times \gamma_2 = 107,51262153...(м) \Rightarrow L_2 = 215,02524307...(м) .$$

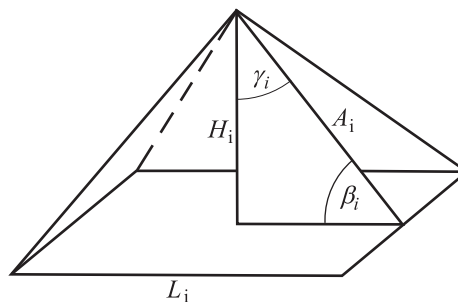


Рис. 14

Для 3-й пирамиды выберем  $\Delta \sqrt{8} : 1,1\pi : \sqrt{8+1,21\pi^2}$  с параметрами:

$$\beta_3 = \arctg\left(\frac{1,1 \times \pi}{\sqrt{8}} = 1,221792807... \approx \frac{11}{9} = 1, (2)\right) = 50,700725251^\circ... \Rightarrow \gamma_3 = 39,29927474^\circ... \text{ и}$$

$$L_3/2 = \frac{3,6}{1,1 \times \pi} \times \beta_3 = 52,8170468...(м) \Rightarrow L_3 = \frac{86\,400}{110 \times 120 \times \pi} \times \beta_3 = 105,6340936...(м).$$

Выбранные размеры 2-й и 3-й пирамид близки к их реальным размерам. Реальные размеры пирамид смотреть в Приложении 1. Тогда базовую модель трех пирамид можно представить следующими соотношениями:

$$\beta_1 \times 60 \times \frac{1,6}{6} = 829,6635842... = 16 \times MB$$

$$\gamma_2 \times 60 \times \frac{6}{16} = 829,5726976... = 16 \times 51,84829356... \approx 16 \times MB$$

$$\beta_3 \times 60 \times \frac{1}{16/6+1} = 829,6482313... = 16 \times 51,85301446... \approx 16 \times MB$$

$$\frac{\beta_1}{L_1} = \frac{1}{\sqrt{2} \times \pi} = 0,225079079... \approx 0,225 = \frac{0,108}{16 \times 0,03}$$

$$\frac{L_2}{\gamma_2} = 22,5 \times 25\,920 \times 10^{-5} = 5,832 = \frac{2,8}{16 \times 0,03} - \frac{0,016}{12} \approx 5,8(3) = \frac{2,8}{16 \times 0,03}$$

$$\frac{\beta_3}{L_3} = \frac{\pi}{4} \times \frac{11}{18} = 0,47996554... \approx 0,48 = 16 \times 0,03.$$

Причем,

$$\frac{\beta_1}{L_1} \times \frac{\gamma_2}{L_2} \times \frac{\beta_3}{L_3} = \frac{0,225079... \times 11 \times \pi \times 10^5}{22,5 \times 25\,920 \times 72} = 0,0185236... \approx 0,0(185) = 10^{-4} \text{ Пр. баз. геогр. стадию,}$$

а на  $45^\circ$  с.ш. длина  $1'$  широты равна  $1852,203... \text{ м}$ , также  $\beta_1 \times \beta_2 \times \beta_3 = 139\,680,8503... =$

$$373,7390136^2... \approx \left(\frac{37000}{99}\right)^2 = 139\,679,6245... \quad \text{Пропорция } 16/6 = 8/3 = 2, (6) \quad \text{часто}$$

встречается в математике сотворения и в физике небесных тел, например,  $\frac{16}{6} = \frac{\text{Период прецессии (близкий к реальному)}}{MB \times \text{Период нутации}} = \frac{25\,733,3988... \text{ года}}{MB \times 18,61 \text{ года}}$ , а  $18,61 \approx \frac{1}{10} \times A_{1\text{ баз}} =$

$$18,6492745... \approx \frac{1}{100} \times L_{1p} = 18,615(6).$$

Из приведенных соотношений видно, что на основе значений, близких к  $MB$ , можно получить размеры пирамид, близкие к реальным, т.е. можно сказать, что пропорция  $MB$  определяет размеры не только 1-й пирамиды, но и размеры 2-й и 3-й пирамид, и опять же с многократным участием числа 16. Иными словами, три пирамиды образуют комплекс строений на основе пропорции  $MB$ .

### Проявление $MB$ на плане комплекса 5 объектов

Для дальнейшего рассмотрения необходимо уточнить положение и размеры Большого Сфинкса и определить размеры и положение объекта №5.

**Большой Сфинкс.** Точные значения размеров Большого Сфинкса не являются общедоступными, поэтому приблизительные размеры и положение объекта взяты из Интернета со спутниковых снимков Google–2008г. [15] с учетом других источников, но без учета того, что шея Сфинкса находится на  $\sim 45 \text{ м}$  ниже основания 2-й пирамиды. Обозначение точек, между которыми определяется расстояние, см. на рис. 15 и 17. Виды Сфинкса сверху и сбоку перерисованы из [16].

Получены следующие размеры:

$$A_9O_S = 439,2063 \text{ м}; \quad O_S S_1 = 294,6166 \text{ м}; \quad S_1 S_2 = 36,6 \text{ м}; \quad S_1 S_3 = 50 \text{ м}; \quad S_1 S_4 = 57,5 \text{ м}; \\ S_1 S_5 = 73,2 \text{ м}.$$

Знание точных размеров Сфинкса весьма важно, хотя бы лишь для того, чтобы определить его полную длину, ведь у этой длины имеется серия размеров, поскольку на передних лапах есть 12 выступов (10 пальцев и 2 кости), т.е. от задней оконечности до выступов передних лап имеется набор из 12 расстояний.

Сразу обращает на себя внимание отношение полной длины Сфинкса к длине его туловища

$$\frac{S_1 S_5}{S_1 S_4} = \frac{73,2 \text{ м}}{57,5 \text{ м}} = 1,27304347... = \text{tg } 51,849687^\circ... \approx \text{tg } MB^\circ,$$

т.е. длина туловища совпадает с четвертью длины стороны 1-й пирамиды, а полная длина совпадает с половиной высоты пирамиды. Маркером длины туловища может служить  $\frac{230,4 \text{ м}}{4} = 57,6 \text{ м}$ . У Сфинкса полуввысота и четверть стороны 1-й пирамиды совмещены в одну горизонтальную линию и разность этих длин равна  $15,7 \text{ м} = 51,509186... \text{англ. фута}$ .

Эта разность может быть представлена маркерными вариантами при условии  $\frac{S_1 S_5}{S_1 S_4} = \frac{4}{\pi}$ :

- 1 – при  $S_4 S_5 = 5 \times \pi \text{ м} = 15,70796... \text{ м}$  имеем  $S_1 S_4 = 57,48788... \text{ м}$  и  $S_1 S_5 = 73,195847... \text{ м}$ ;
- 2 – при  $S_4 S_5 = MB \text{ англ. футов} = 15,80509... \text{ м}$  имеем  $S_1 S_4 = 57,84335... \text{ м}$  и  $S_1 S_5 = 73,64844... \text{ м}$ .

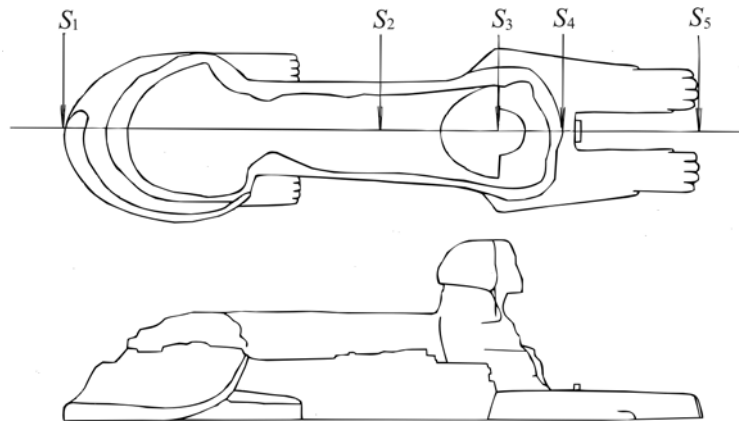


Рис. 15

**Объект №5.** По объекту №5 неизвестны не только размеры, но и какое-либо описание его. Приблизительные размеры и положение объекта также взяты со снимков Google–2008г. [15]. Из сравнения снимков 2007 и 2008 годов видно, что на объекте проводятся восстановительные работы. Вид сверху объекта перерисован со снимка 2008 года и представлен на рис. 16 (прямые линии, образующие прямоугольный треугольник  $V_1 V_2 T$ , на снимке отсутствуют), на фото объект виден над вершиной 1-й пирамиды. Получены следующие размеры:

$$\text{По рис. 16: } V_2 T = 142,9017 \text{ м} \approx \frac{1000 \text{ м}}{7} = 142,857... \text{ м}; \quad V_1 T = 44,966 \text{ м} \approx \frac{630}{14} = 45 \text{ м};$$

$$V_2 V_1 = 149,80805 \text{ м} \approx \frac{20 \text{ м} \times \text{arctg } 1,3}{7} = 149,8040... \text{ м};$$

$$\angle V_1 V_2 T = 17,46532529^\circ... \approx \text{arctg } \frac{\pi}{10} = 17,440594^\circ... \approx \frac{\text{arctg } 1,3}{3} = 17,477135^\circ... \approx \text{arctg } \frac{63}{200} = 17,484427^\circ... .$$

По рис. 17:

$$V_2 O_{V_2} = 1000,9843 \text{ м}; A_9 O_{V_2} = 461,0289 \text{ м} = 2 \times 230,5144 \text{ м};$$

$$V_2 A_9 = 1102,0514 \text{ м} = \sqrt{\frac{10^6}{0,82337}} \text{ м};$$

$$\angle A_9 V_2 O_{V_2} = 24,729645^\circ \dots = \arctg 0,4605756 \dots = \arctg (2 \times 0,2302878 \dots) \approx 40^\circ / AN = 24,721359^\circ \dots$$

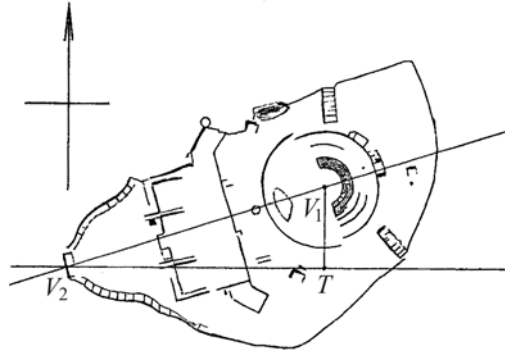


Рис. 16



Фото из [17]

**Общий план плато Гизы с решеткой**  $L_1/2 = 115,190568 \dots \text{ м}$ . Общий план расположения 5 объектов на плато Гизы показан на рис. 17. Расстояния между центрами оснований пирамид см. в Приложении 1. На план нанесена решетка со стороной ячейки

$L_1/2 = \frac{\pi}{\sqrt{2}} \times MB \text{ м} = 115,190568 \dots \text{ м}$ . Центр 1-й пирамиды совмещен с узлом решетки.

Остальные 4 объекта на плато расположены так, что оказываются тоже определенным образом привязаны к этой решетке: южная сторона 2-й пирамиды отступает на  $0,7315 \text{ м}$  от 4 клеток от центра 1-й, центр 3-й отступает на  $1,5064 \text{ м}$  от 5 клеток, передний край головного убора Сфинкса отступает на  $0,9550 \text{ м}$  от 3 клеток и точка  $V_2$  объекта №5 отступает на  $0,2667 \text{ м}$  от 4 клеток.

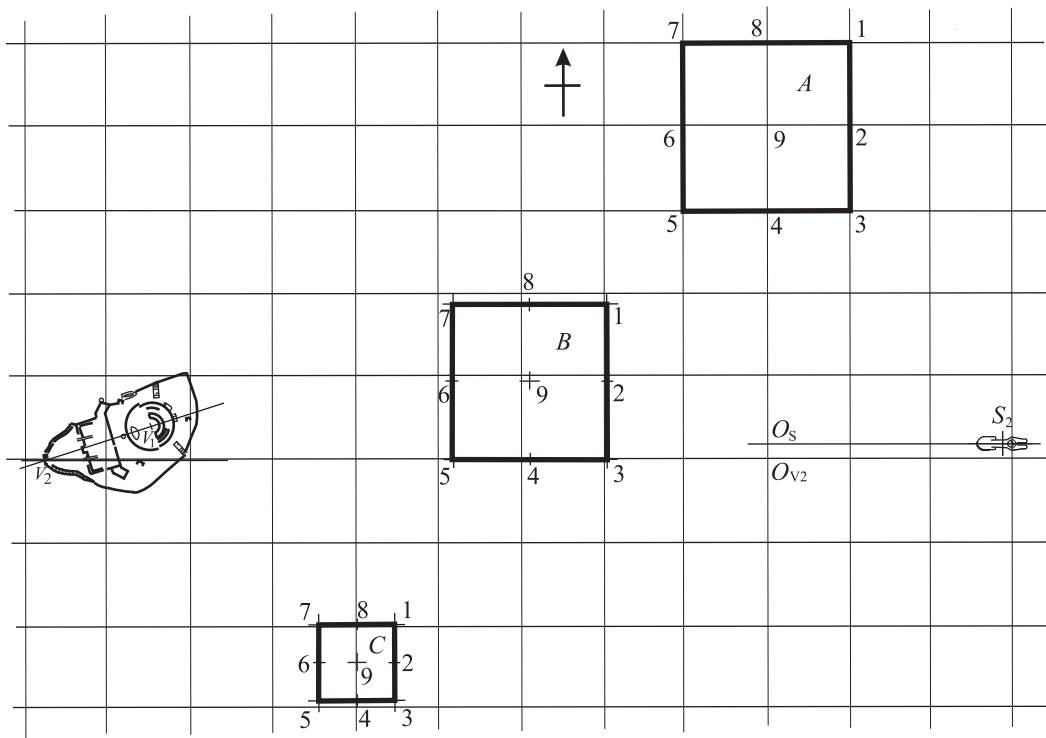


Рис. 17

**Примеры проявления МБ на плато Гизы.** Между значимыми точками 5 объектов пропорция МБ проявляется в определенных кратных и дольных значениях в огромном множестве случаев, причем проявляется и в углах и длинах и в их отношениях. Ниже приводится несколько примеров такого проявления.

1. Рассмотрим проявление длины, равной  $\frac{L_1}{14} = \frac{1}{7} \times \frac{\pi}{\sqrt{2}} \times MB \text{ м} = 16,45579546... \text{ м} \approx \frac{5}{3} \times \pi^2 = 16,44934067... \approx \sqrt{\frac{3}{4}} \times 360,9856091... = 16,4541547...$ , где  $360,9856091^\circ...$  – это угол поворота Земли вокруг своей оси за *средние солнечные сутки*. Длина  $L_1/14$  на плато проявляется в кратных значениях с целыми числами. Это показано на рис. 18, где все 5 объектов спроецированы на две взаимно перпендикулярные линии решетки  $L_1/14$ .

На рисунке расстояния представлены целыми числами, которые нужно умножить на близкие к  $L_1/14$  значения для получения реальных значений расстояний. Для каждого из расстояний рисунка величины, близкие к  $L_1/14$ , не отличаются от  $L_1/14$  более чем на  $\pm 0,5\%$ , а среднее значение всех этих величин, близких к  $L_1/14$ , равно  $16,4310... \text{ м} \approx \sqrt{\frac{3}{4}} \times 360 = \sqrt{270} = 16,4316767...$ . Таким образом, на плане плато Гизы показана серия расстояний, кратных  $L_1/14$ . Из рисунка также видно проявление одного из первородных образов – двойного квадрата со стороной, равной (по расстоянию  $V_2O_{V_2}$ )  $666,572989... \text{ м} \approx \frac{2}{3} \times 10^3 \text{ м}$ , с общей длиной  $\approx \frac{4}{3} \times 10^3$ . В двойном квадрате отрезки  $A_4C_4$  и  $V_2S_2$  образуют крест, где  $A_4C_4 = 676,76776 \text{ м} \approx 2 \times 338,38388 \text{ м} \approx 2 \times \frac{10}{\pi^2} \times \frac{666,(6) \text{ м}}{2} = 2 \times 337,737278... \text{ м} \approx 2 \times \frac{2700}{8} = 2 \times 337,5$ . У креста интересен прямоугольный треугольник  $A_4V_2O_{V_2}$ , у которого  $A_4C_4/2 = 67,76776 \text{ м} \times 0,5 = 338,383888... \text{ м}$ ,  $B_9O_{B_9} = 1003,233396 \text{ м} \times 0,(3)$ ,  $A_4V_2 = 1056,632972... \text{ м}$ ,  $\angle A_4V_2O_{V_2} = 18,67788255... = \arctg 0,338051133...$  Весьма близкий к

нему треугольник однозначно определяется следующими условиями:  $tg \frac{x^2}{6000} = \frac{\frac{10}{\pi^2} \times \frac{x}{3}}{x}$ ,

где  $x = V_2 O_{V_2}$ ,  $\frac{x^2}{6000} = \angle A_4 V_2 O_{V_2}$  и  $\frac{10}{\pi^2} \times \frac{x}{3} = A_4 O_{V_2}$ . Откуда  $x = 3 \times \sqrt{6 \times 10^3 \times arctg \frac{10}{3\pi^2}} =$   
 $= 3 \times 334,619868... (м) = 1003,859605... (м) = V_2 O_{V_2}$ ,  $\angle A_4 V_2 O_{V_2} = 18,66174274^\circ \dots \approx 0,1 \times A_{16аз} =$   
 $= 0,1 \times 186,492745... (м) \approx 10^{-3} \times 81 \times L_{16аз} = 18,660872... (м) \approx 10^{-5} \times 72 \times 25\ 920$  и  
 $A_4 O_{V_2} = 339,0408115... (м)$ .

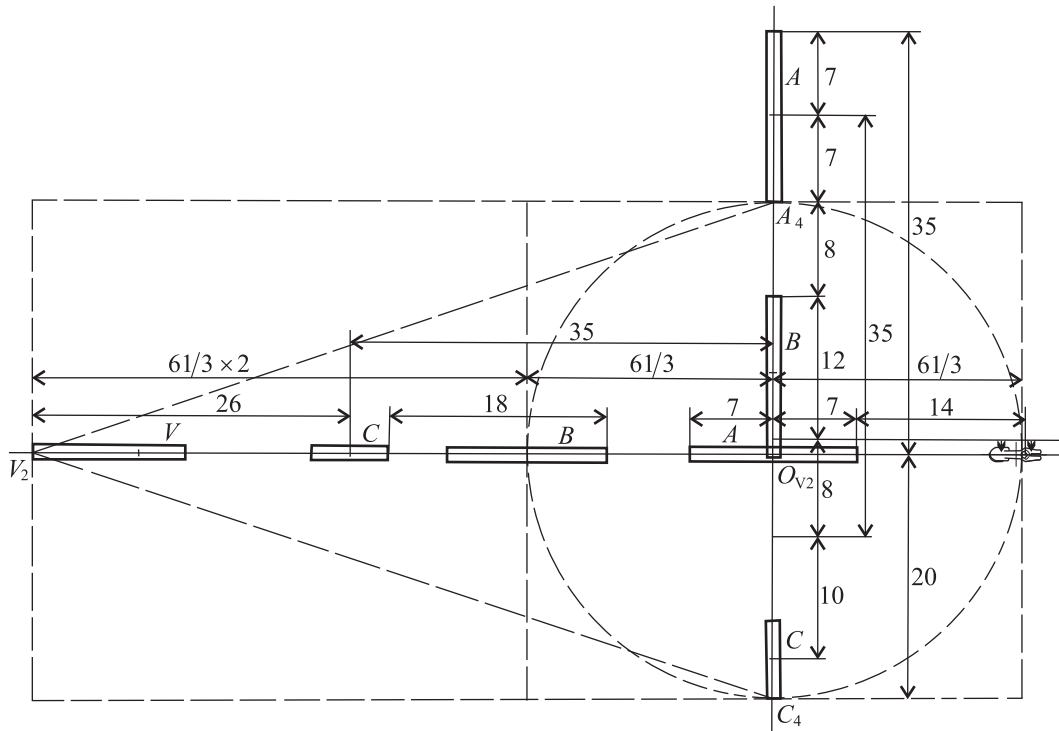


Рис. 18

2. Рассмотрим теперь серию расстояний  $\frac{L_1}{4/10} = 5 \times \frac{\pi}{\sqrt{2}} \times MB_m = 575,952841... м \approx$   
 $\approx 576 м$ , т.е.  $L_1/4$  совпадает с длиной туловища Большого Сфинкса. На плане плато  
 имеется 34 расстояния с отклонением их от  $\frac{L_1}{4/10}$  на величину не более  $\pm 1\%$ . Эти  
 расстояния показаны на рис. 19.

Также аналогично последней серии на плане плато имеется серия  
 $\frac{L_1}{0,4 \times 1,4} = \frac{25}{7} \times \frac{\pi}{\sqrt{2}} \times MB_m = 411,394886... м$  и серия  $\frac{30}{7} \times L_1 = \frac{60}{7} \times \frac{\pi}{\sqrt{2}} \times MB_m =$   
 $= 987,347727... (м) \approx 100 \times \pi^2 = 986,96044... \approx \frac{16}{16,2} \times 10^3 = \frac{80}{81} \times 10^3 = 987,654321...$ , для каждой  
 из которых на плане можно указать по 11 расстояний с отклонением их на величины не  
 более  $\pm 1\%$  от базовых значений.

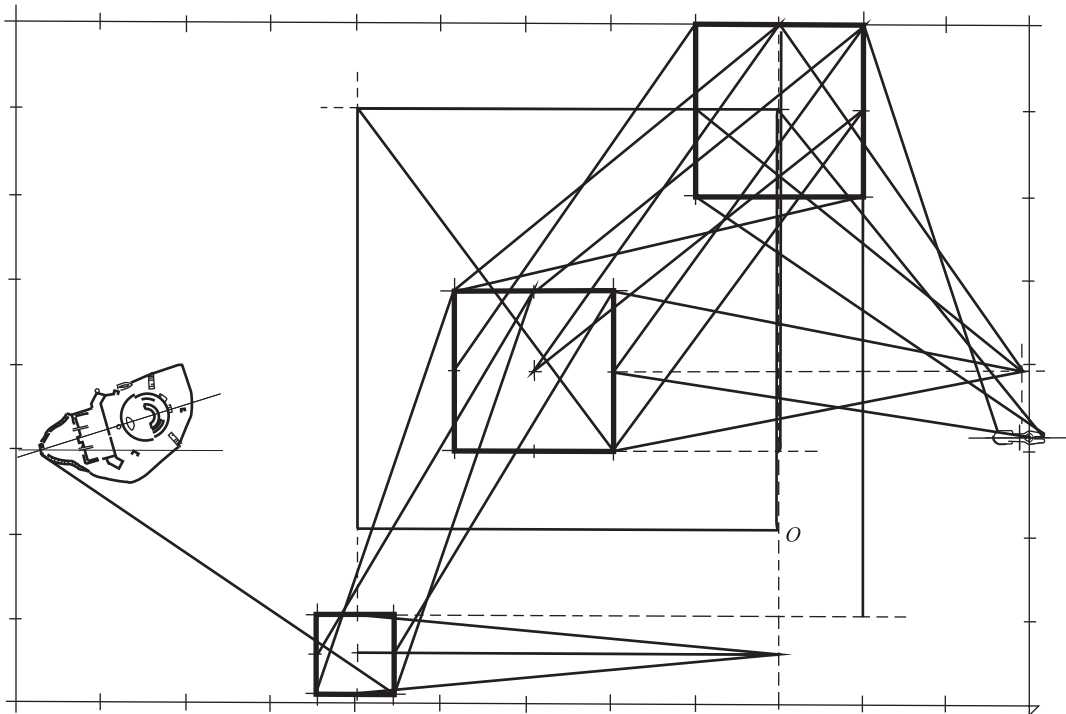


Рис. 19

3. Следует обратить внимание на квадрат со стороной, равной  $574,4464 \text{ м}$  ( $\approx L_1 / 0,4$ ), правый верхний угол которого на рис. 19 совпадает с центром 1-й пирамиды, а продолжение западной его стороны вниз проходит через центр 3-й пирамиды. С этим квадратом через угол  $MB^\circ$  связано и положение 2-й пирамиды. Построим в 4 раза больший квадрат так, чтобы в нем исходный квадрат был левой верхней четвертью, смотреть рис. 20. Из левого нижнего угла большого квадрата проведем прямую линию до его восточной стороны под углом  $MB^\circ$  к западной, линия пройдет через Большого Сфинкса. Затем из точки пересечения линии с восточной стороной проведем прямую параллельную северной стороне, она пройдет ниже центра 1-й на  $246,5545 \text{ м}$  и ниже северной стороны 2-й пирамиды на  $0,32309 \text{ м}$ , т.е. можно сказать, что линия совпадает с северной стороной 2-й пирамиды. Построенная прямая линия разделила большой квадрат на верхний меньший прямоугольник и нижний большой прямоугольник. Причем площадь нижнего прямоугольника равна площади окружности с  $R = 574,4464 \text{ м}$ , т.е. окружности, вписанной в большой квадрат, а диагональ верхнего прямоугольника с большей его стороной образует угол, равный  $12,11207325^\circ \dots = \arctg(1 - \pi/4) =$

$$= \frac{10^\circ}{0,82562248\dots} = \frac{625^\circ}{51,6014052\dots} \text{ и } 10^\circ \times (1 - \pi/4) = 90^\circ - MB^\circ - 36,0000076212^\circ \dots \text{ При этом}$$

центр 3-й пирамиды расположен ниже центра 1-й на расстоянии в три раза большем, чем высота верхнего прямоугольника:

$$739,1908 \text{ м} = 3 \times 246,3969(3) \text{ м} \approx 3 \times 246,5545049\dots \text{ м} = 739,6635148\dots \text{ м} .$$

Также стоит отметить, что расстояние  $246,5545049\dots \text{ м}$  относится к серии  $\frac{L_1}{4/10} \times 2 \times (1 - \pi/4) = 247,201075\dots \text{ м} \approx 10 \times \angle A_9 V_2 O_{V_2} \approx 10 \times \frac{40}{AN} = 247,2135955\dots$ , которая также имеет ряд проявлений на плане плато.



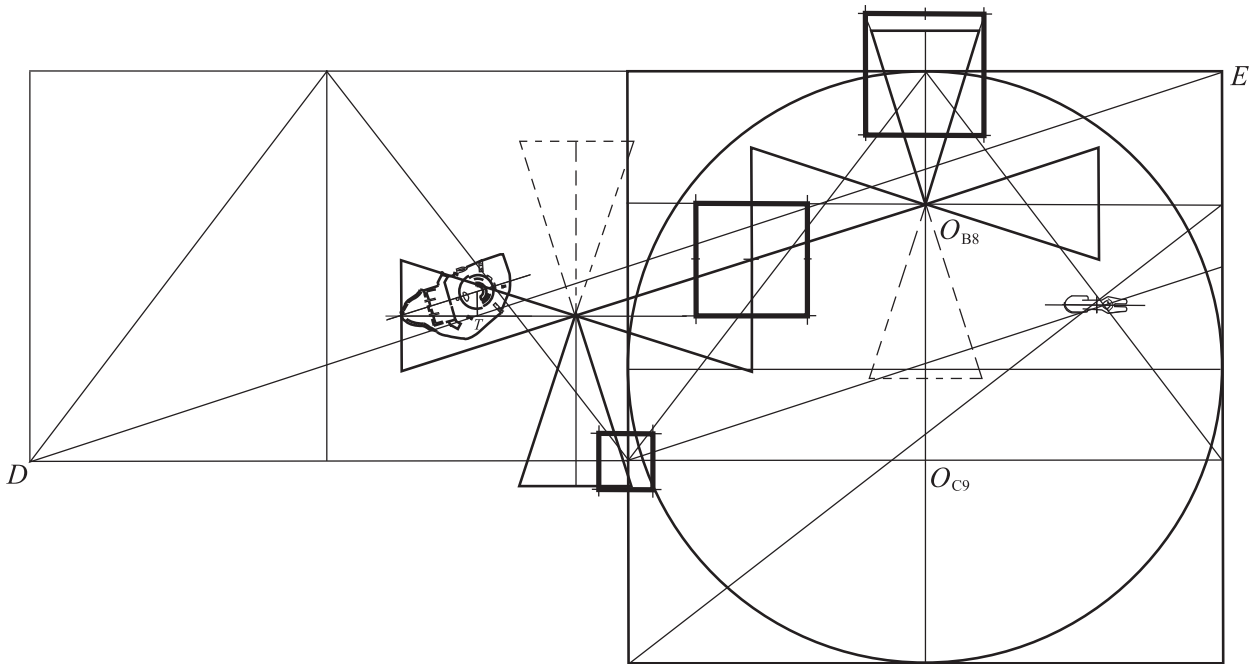


Рис. 20

Интерес представляет  $\Delta A_9 C_9 O_{C_9}$ . Его параметры содержат сходства со многими пропорциями на плато Гизы. Так, его гипотенуза равна  $936,157948\dots м \approx 1,4 \times 2 \times \frac{61}{3} \times \frac{L_1}{14} = 936,883288\dots м \approx 18 \times 52 м = 936 м$ , малый катет равен  $574,4464 м \approx 1,4 \times \frac{25}{7} \times \frac{L_1}{2} = 575,95284\dots м \approx 110 \times 5,2 м = 574,4 м$  и большой катет равен  $739,1908 м \approx 1,4 \times 528 м = 739,2 м$ . Этот треугольник весьма близок к  $\Delta 7 : 9 : \sqrt{130}$ , т.е. к треугольнику, имеющему целочисленные катеты, как и катеты треугольников апофемы трех пирамид (1 – 11:14, 2 – 3:4 и 3 – 9:11). Угол наклона гипотенузы треугольника равен  $\arctg \frac{739,1908 м}{574,4464 м} = 52,1481948^\circ \dots \approx \arctg \left( \frac{3}{2} \times (4 - \pi) \right) = \arctg (6 \times (1 - \pi/4)) = 52,16594078\dots$ , т.е. определяется углом  $MB^\circ$  или опять же, как и у 1-й пирамиды, взаимодействием окружности и квадрата. Причем,  $(52,16594078^\circ + MB^\circ) / 2 = 52,009957^\circ \dots$

Стоит отметить, что геометрические построения, аналогичные приведенным по данному примеру, были получены и в работе [18], но без объяснения их происхождения.

Из описанного видно, что на пропорции  $MB$  определенным образом строится не только геометрия трех пирамид, но и их расположение на плато. Можно привести еще один пример проявления взаимодействия окружности и квадрата – это взаимодействие с арифметическим аспектом. На плато 3 больших пирамиды, и у каждой по 4 грани, в основании квадраты, т.е. реализуется формула 3 по 4. Число 3 характеризует окружность, значит через 3 центра основания пирамид можно провести единственную окружность (как, впрочем, и через другие значимые точки оснований пирамид). У этой окружности  $R = 2\,355,709998\dots м = 14\,801,36245\dots м / 2\pi = 10^6 \times 17,4338587\dots м^2 / \pi R \approx 10 \times L_1 + MB м = 2\,355,665338\dots м \approx \frac{37 \times 400}{2\pi} \approx \sqrt{5,55 \times 10^6} = \sqrt{\frac{17,43583923\dots}{\pi} \times 10^6} = 2\,355,84379\dots$ . Длина дуги окружности между центрами 1-й и 3-й пирамид равна  $149,9924\dots м \times 2\pi$ , а в градусах равна  $22,92186785^\circ \dots \approx \frac{72^\circ}{\pi} = 22,91831181^\circ \dots$ . Угол между 1-й и 2-й равен  $11,86305481 \approx \frac{72}{\pi} \times \frac{MB^\circ}{100} = 11,88405545^\circ \dots$  (11,86 земных лет = 1 году Юпитера). При этом

тупой угол, образованный центрами трех пирамид, составляет  $168,5391023^\circ\dots$  и его можно получить на основе  $MB$ :

$$168,5391023^\circ\dots \approx 100^\circ \times \operatorname{tg}(90^\circ - MB^\circ) + 90^\circ = 168,5398163^\circ\dots = 25^\circ \times \pi + 90^\circ.$$

4. Рассмотрим угловое положение осевой линии объекта №5. Угол наклона этой линии составляет  $17,465325^\circ\dots$ , как это принято выше. На  $0,188$  м выше точки  $T$  проходит диагональ  $DE$ , т.е. можно сказать, что  $DE$  проходит через точку  $T$ , смотреть рис. 20.

Диагональ  $DE$  имеет угол наклона, равный  $\operatorname{arctg} \frac{739,1908\text{м}}{4 \times 574,4464\text{м}} = 17,83282894^\circ\dots$ . Если

радиус окружности на рис. 20 принять равным  $L_1/0,4$ , то угол наклона диагонали будет равен  $\operatorname{arctg} \left( \frac{3}{2} \times (1 - \pi/4) \right) = 17,843510101^\circ\dots$ . Тогда можно говорить о серии углов  $17,8^\circ\dots$ ,

поскольку угол выражается через  $MB$ . Также на основе  $MB$  можно получить несколько иное значение угла:  $\frac{MB^\circ}{3} \times \left( 1 + \frac{\pi}{\sqrt{2}} \times \frac{1}{70} \right) = MB^\circ \times 0,343911626 = 17,8331845^\circ\dots$ , где  $0,343911626\dots = \operatorname{tg} 18,97868927^\circ\dots$ , а  $18\,980$  дней – это календарный круг мая ( $18\,980 \text{ дн.} = 365 \text{ дн.} \times 52 \text{ года} = 260 \text{ дн.} \times 73 \text{ священных года}$ ) и

$18\,978\,689 \text{ дн.} / 365,2421988 \text{ дн.} = 51,9619291\dots \approx 30 \times \sqrt{3} = 51,9615242\dots$ . И еще одно значение:  $14 \times \operatorname{tg} MB^\circ = \frac{112}{2\pi} = 17,82535336^\circ\dots$ . К серии  $17,8^\circ\dots$  относится угол наклона

прямой  $C_9S_i$ , т.е. диагональ  $DE$ , параллельно смещенная до точки  $C_9$ , пересекает Сфинкса. Диагональ  $DE$ , проведенная через точку  $B_9$ , является главной линией сдвоенного мальтийского креста, который построен на  $\Delta B_8B_9O_{B_8}$ . В этом треугольнике

угол равен  $\operatorname{arctg} \frac{215,26246\text{м}/2}{334,41132\text{м}} = 17,840918^\circ\dots$  (в работе [18] также обращено внимание на

наклон прямых  $B_9O_{B_8}$  и  $C_9S_i$  под углом  $17,8^\circ\dots$ ). На рис. 20 видно, как сдвоенный мальтийский крест сопрягается с 5 объектами плато Гизы. Причем видно, что объекты расположены по синусоиде в пределах ее периода. Можно показать еще ряд проявлений пропорции  $17,8\dots$  на плато Гизы. Широкое проявление пропорции  $17,8\dots$  указывает на ее важное значение в формировании единого физического феномена – Гизехского пирамидального комплекса.

5. В расположении трех пирамид 4 раза проявляется треугольник тел Платона (см. Приложение 2). Самый большой из них  $\Delta A_8C_8O_{C_8}$  содержит в себе остальные 3, см.

рис.21. Эти треугольники несколько отличаются от базового треугольника –  $\Delta \sqrt{1}:\sqrt{2}:\sqrt{3}$ , как и все геометрические фигуры на плато отличаются от правильных, как и не повторяется в Гизехском комплексе ни одного размера. Из рисунка видно, что 4 треугольника не только сходны с  $\Delta \sqrt{1}:\sqrt{2}:\sqrt{3}$ , но и связаны между собой простыми пропорциями. Также длины их сторон относятся к рассмотренным выше сериям расстояний, т.е. в треугольниках проявляется  $MB$ . Стоит отметить и диагональную пару плато Гизы – это линия  $A_8B_8C_8$  и линия  $A_9B_4C_4$ . Они почти прямые и близки к параллельности. Так, точка  $B_9$  находится на  $1,3$  м ниже и правее от прямой  $A_8C_8$ , а точка  $B_4$  на  $0,2$  м ниже и правее от прямой  $A_9C_4$ , как и  $\angle C_8A_8O_{C_8} = 35,62585^\circ\dots \approx \angle C_4A_9O_{C_8} = 35,9558^\circ\dots$ .

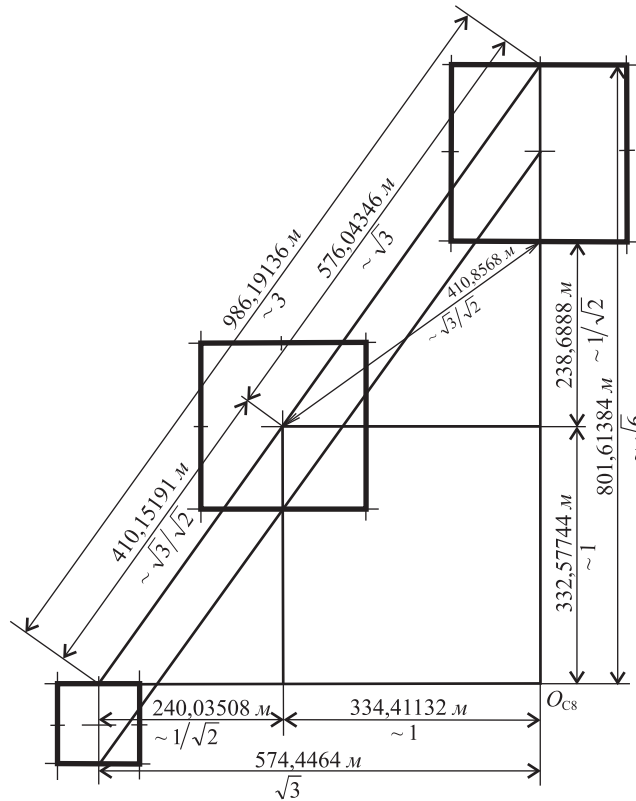


Рис. 21

Пропорция *МБ* не только проявляется в геометрии сооружений на плато. У 1-й пирамиды сделана метка, которая прямо указывает на *МБ*. Речь идет о квадратных углублениях, сделанных в скальной породе для обозначения углов Великой пирамиды. Углубления показаны на рис. 22 из работы [6, с. 63, 131].

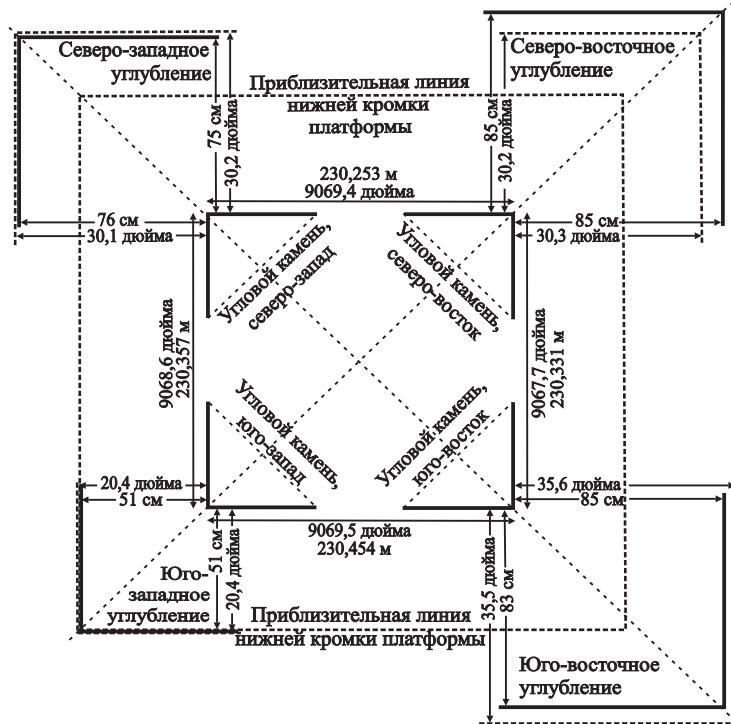


Рис. 22

Стороны трех углублений отстоят от сторон угловых камней пирамиды на 30,1 дюйма, 30,3 дюйма и 35,6 дюйма. Четвертое углубление имеет сравнительно меньший размер: стороны его отстоят от юго-западного углового камня на 20,4 дюйма. Значительно

меньший размер юго-западного углубления – это и есть угловая метка. Метка выражена расстоянием 20,4 дюйма, что составляет 51,816 см. Таким образом, метка указывает на две вещи: 1 – это на величину значения пропорции  $MB$ , 2 – измерения делаются в метрах. При этом и край платформы, на котором стоит Великая пирамида, совпадает с внешними сторонами юго-западного углубления, т.е. край платформы (основа пирамиды) отстоит от сторон пирамиды на  $MB$  см. Схожие угловые метки обнаружены Морисом Коттереллом в Месоамерике. На крышке саркофага Властелина Пакаля из Храма Надписей в Паленке отсутствуют северо-западный и северо-восточный углы, а также скошен юго-западный угол саркофага под этой крышкой [19]. Два недостающих угла крышки позволили Коттереллу расшифровать бордюрный код и изображения в центральной ее части [20, с. 98-106].

Можно привести еще примеры проявления пропорции, выходящие за рамки рассматриваемой геометрии на плато. Если  $360^\circ$  долготы разделить на два угловых отрезка с соотношением  $\frac{4}{\pi} = \frac{201,63569^\circ \dots}{158,36430^\circ \dots}$  и в точку деления поместить Великую

пирамиду, то нулевой меридиан пройдет через восточную оконечность Азии (район мыса Дежнева). Можно отметить и проявление пропорции  $4/\pi$  у шахт Великой пирамиды к звездам (предположительно). Сумма углов наклона северной и южной шахт, выходящих из Камеры царицы, равна  $39^\circ + 39,5^\circ = 78,5^\circ \approx 100 \times \frac{\pi}{4} = 78,539816\dots$ , а сумма углов наклона северной и южной шахт, выходящих из Камеры царя, равна  $32,4(6)^\circ + 45,2(3)^\circ = 77,7^\circ = 78,539816^\circ \dots - 0,8398163^\circ \dots \approx 100 \times \frac{\pi}{4} - \text{tg} 40^\circ = 77,7007167\dots$

(значения углов наклона шахт взяты из работы [21, с. 105-108], хотя известно, что углы по длине грубо обработанных шахт точно не выдержаны [9, с. 73-74]). Также можно отметить проявление  $MB^\circ$  как маркера-предвестника эпохи Рыб. В 330 году до н.э. звезда Аль-Нитак (левая звезда в поясе Ориона), наблюдаемая с широты плато Гизы, кульминировала на меридиане Великой пирамиды Гизы на высоте  $51^\circ 52'$ . На это время приходится перемещение точки весеннего равноденствия из созвездия Овна в созвездие Рыб и имперские завоевания А. Македонского на Востоке (проложившие дорогу христианскому вероучению) с варварским уничтожением древнейшего научного центра Египта Гелиополя [6, с. 259]. На более высокой широте Харрана к востоку от Вифлеема Аль-Нитак кульминировала на высоте  $51^\circ 52'$  в 4 году н.э. (в предполагаемый год рождения Христа), при этом «рождественская звезда» Сириус должна была взойти и ярко светить на востоке в сумерках во время захода Солнца [21, с. 446, 448].

### Гизехский пирамидальный комплекс – уникальный справочник по физике

Приведенные примеры проявления  $MB$  на плато Гизы указывают на то, что 5 объектов связаны воедино геометрическими образами и пропорциями, т.е. строения составляют единый комплекс. Можно привести еще множество примеров проявления формальной математики на плато и в этой математике указать определенные закономерности, учитывая и то, что примеры приведены только для горизонтальной плоскости, а для полноты картины необходимо рассматривать пространственную геометрию – учитывать высоты. В комплексе основополагающей закономерностью является взаимодействие окружности и квадрата в различных геометрических и арифметических аспектах, подобразах, которые в совокупности образуют единый математический образ. Именно это соединение в единую совокупность отчасти и определяет отсутствие точных правильных фигур и пропорций, но все же дает близкие к ним фигуры и величины. С другой стороны «неточность» определяется тем, что величины немного «плывут» от комбинаторики взаимодействия различных циклов. Поскольку взаимодействие окружности и квадрата является фундаментальным для явлений природы,

то на размеры и их соотношения в подобразах и на фрагменты их суперпозиций можно более или менее точно спроецировать множество реальных явлений. Поэтому в геометрии комплекса повсеместно встречаются числа, близкие к известным физическим параметрам, но зачастую это числа-обманки, они не участвуют в формировании единого образа.

Один лишь поиск образов формальной математики в комплексе нельзя считать прочтением Гизехской каменной книги богов. Прочтением является выявление общего физического феномена комплекса, с указанием его отдельных физических феноменов. Одним из таких отдельных феноменов является параметрическая модель поля тяготения и формы Земли, записанная в Великой пирамиде. Известно проявление отображения отдельных звезд карты звездного неба для прецессионного цикла на берегу Нила в виде расположения объектов Гизехского комплекса и других монументов, обнаруженное Робертом Бьювэлом, см., например, [21]. Получить общий физический образ с подобразами – задача преимущественно технического характера, но задача эта весьма многотрудная. В целом Гизехский комплекс можно назвать высокоточным справочником по физике сотворения мира, оставленным богами для будущей цивилизации, но это лишь одна функция из множества функций комплекса. Причем Гизехский комплекс не является исключением среди других древних строений Египта и мира.

Неверно представление о том, что богами что-то специально зашифровывалось в пирамидах, храмах и других строениях. Нет, это всего лишь отображение важной для землян физической реальности, но отображение, сделанное на высочайшем уровне культуры и интеллекта, увы, труднодоступного для нас. Чтобы понять, что записано в пирамидах, нужно научиться читать на языке богов, на языке геометрических образов и пропорций, осознавая то, о чем они пишут, т.е. зная и понимая законы сотворения мира. Людям же судить о богах (идеологах комплекса) по себе – это грубейшая ошибка. Боги, отображая сокровенные знания в мегалитических постройках и тем самым передавая знания на тысячелетия вперед, не могли себе позволить проявления лжи, лицемерия, алчности, тщеславия и других повседневных человеческих пороков. Поэтому задаваться вопросом: «Что хотели создатели воплотить в Великой пирамиде: знание числа  $\pi$ , золотой пропорции или корней чисел?» весьма неуместно. Главное то, что могло двигать богами – это благоговение перед реальным Всевышним (а не перед кукольными образами иных религиозных представлений) и величайшая ответственность за истинное отображение на земле Его космических творений!

### Число Тота, число Сешат и число славян

Настоящая работа посвящена выводу и проявлению пропорции *МБ*. Округленное значение *МБ* – это число 52 или иначе: 52 – это целочисленный маркер *МБ*. Из одной древней легенды, записанной на папирусе и хранящейся в Каирском музее, известно, что 52 – это магическое число бога Тота и что у Тота была игра «Пятьдесят два» [22]. Египтяне ассоциировали Великую пирамиду с Тотом, богом мудрости и письма [23, с. 86]. Поэтому пропорцию 51,8539740... можно именовать и мерой Тота, именем Величайшего Ученого и Учителя на Земле, по крайней мере, последнего Великого Круга (25 920). Можно привести еще ряд проявлений числа 52:

- 52 магнитных полюса Солнца (экваториальное магнитное поле имеет 4 полюса) Земля проходит за год (полюса сменяются в среднем с 7-дневной периодичностью), также известны древние календари в 364 дня =  $52 \times 7$  дней;
- 52 года – цикл в календарях индейцев Месоамерики;
- 52 определяет разность полярного и экваториального радиусов кривизны полярного эллипса Земли:  $R_{\text{поляр.}} - R_{\text{экв.}} = 6\,399,5966... \text{ км} - 6\,335,44227... \text{ км} = 64,15437... \text{ км} = 10^5 \text{ км} / 30 \times 51,958... \text{ и т.д.}$

Из примеров проявления *МБ* на плато Гизы видно, что довольно часто встречается число 7 с несколькими целочисленными коэффициентами дольности. Число 7 – это число

богини Сешат, близкой спутницы (сестры-жены, женского аспекта) бога Тота. Сешат изображалась с головным убором, на верхушке которого находится 7-конечная звезда. Известно также, что шумерская богиня мудрости Нисаба обладала «стилом семи чисел» и у гностиков богине мудрости Софии принадлежало число 7. Сешат являлась участницей церемоний натягивания веревки при закладке древних сооружений Египта. Из формулы «52 по 7 дней» получается земной год. Соотношение богов  $\frac{MB}{7} = 7,40771057... \approx \frac{1000}{135} = 7,4(074)$  часто встречается на плато Гизы и проявляется в пятнообразовательных циклах Солнца. Широкое проявление числа 7 общеизвестно, и можно привести список, состоящий из нескольких десятков позиций. Важность числа 7 в физике сотворения весьма значима, поэтому вывод числа 7 и его проявления раскрываются в специальном разделе «Космологии богов».

Помимо числа 52 и числа 7, на плато Гизы часто встречается число 16. Так, на основе *MB* с множественным участием числа 16 формируется параметрическая модель поля тяготения и формы Земли, также с множественным участием числа 16 формируется система уравнений трех пирамид. И важно для рассматриваемой темы то, что  $MB \times 16 = 1000 \text{ Пр.бМЯ}$ . Выше показано, как пропорция *бМЯ* проявляется в природных явлениях, а значит, А. Том прозорливо угадал, что из полученного им ряда значений длин в качестве основной единицы следует выбрать именно длину в 2,722 *англ. фута*. Вместе с тем из квадрата с периметром, равным 1000 *бМЯ*, можно построить базовую модель Великой пирамиды. Построение выполняется довольно просто через окружность, описывающую этот квадрат, и квадрат, равный по периметру описанной окружности. Число 16 и родственные ему числа связывают числа 52 и 7 с маркерами многих значимых пропорций. Эту связь можно представить в виде дерева с ветвями Тота и Сешат или, иными словами, схемой операционной системы равенств от чисел 7 и 52, см. рис. 23.

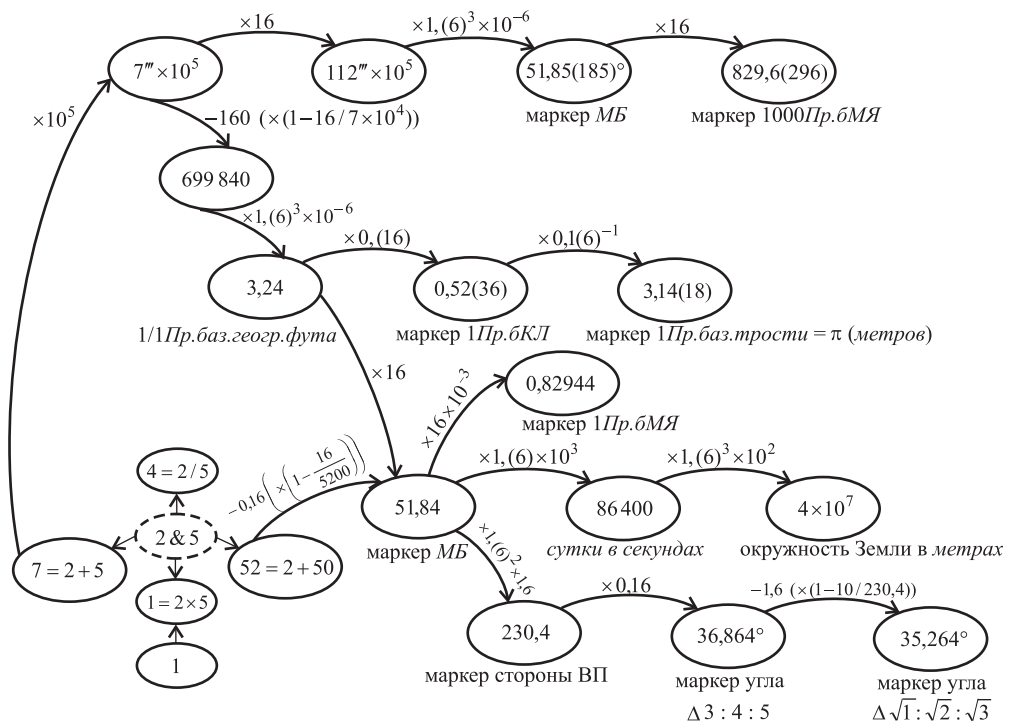


Рис. 23

Все перечисленные проявления числа 16 носят относительно скрытый характер. В явном же виде число 16 использовалось у древних славян, еще в дохристианской Руси. Если в восточных системах эклиптика делится на 12 созвездий, то славянские веды определяют деление эклиптики на 16 созвездий. В славянском ведическом календаре, например, смотреть [24], используются три циклических числа: малое число – 9, большое – 16 и полное 144. Порядок использования чисел 9 и 16 чередуется: если в сутках 16

часов, то в неделе 9 суток и если в году 9 месяцев, то 16-й год – священный, високосный (369 дней). Для установления меры длины «пядь» также используется связь 9 и 16, но уже в виде деления:  $160\text{ см}/9 = 17,(7)\text{ см}$ , а пядь, привязанная к английским мерам длины, получается равной  $17,78\text{ см} = 7\text{ англ.дюймов}$ . В одном из источников славянской ведической культуры в Саньтиях Ведов Перуна (Книга Мудрости Перуна) [25] также проявляется чередование чисел 9 и 16. В Книге 9 саньтий записаны рунами на 36 пластинах (сшитых тремя кольцами) следующим образом: 16 рун в строке, 9 строк в шлоке, 4 шлоки на пластине (по две шлоки на каждой стороне пластины). Тогда распределение рун по формам можно записать формулой:

$$16 \text{ рун} \times 9 \times 4 \times 4 \times 9 = 20\,736 \text{ рун.}$$

Здесь в чередовании 9 и 16 имеется особенность: второе число 16 представлено как 4 по 4, т.е. в цепочке поставлена метка, выраженная числом 4. Теперь, если 20 736 разделить на число метки, то получится число 5184, а это есть андрогинный маркер *МБ*, который можно представить целочисленным маркером 52. Получается, что с одной стороны пропорция *МБ* скрыта, а с другой на нее указывает метка, причем метка не простая – это число 4 – число квадрата, креста, земли, т.е. в данном случае: чтобы показать, нужно скрыть. Также формами записи рун записано число 7, причем записано в виде русской матрешки. Самая маленькая матрешка – это сама руна, вторая матрешка – это строка, 3-я – шлока, 4-я – сторона пластины, 5-я – пластина в целом, 6-я – саньтия на 4 пластинах, 7-я – сшивка из 36 пластин. Этот анализ можно продолжать, но уже из приведенного видно, что это числа из Гизехского комплекса. Следует обратить внимание, что в описании геометрии на плато Гизы число 9 также встречается, но реже, чем числа 52, 7 и 16. Помимо восхищения умом, сформировавшим саньтии, возникает вопрос: откуда в древней Руси (предположительно саньтии записаны 40 000 лет назад) числовые знания, которые записаны на плато Гизы? Как исторически сложилось, что в древней Руси запись фундаментальных знаний сделана намного раньше, чем они записаны на плато Гизы? Причем изящество и лаконичность записи указывают на то, что эта запись сделана с уже имеющегося в развернутом виде учения. Нельзя исключать, что это учение подробно записано в саньтиях рунами на языке математики. И нельзя исключать, что эти знания на Земле передаются от цивилизации к цивилизации уже не один миллион лет.

**Триада циклических фундаментальных чисел.** Для полноты описания циклических чисел следует дать пояснения по числу 9. В своих исследованиях календарной системы майя М. Коттерелл пришел к выводу, что числу 9 индейцы придавали особое значение, почти все их числа основывались на числе 9, и это число считалось у них священным [20, с. 90, 306, 307, 322]. Помимо 20-дневков и 13-дневков, у майя была 9-дневная неделя, в которой счет велся по количеству ночей. Число 9 ассоциировалось с тьмой, с подземельем (9 подземных царств), т.е. ассоциировалось с низом. В длительном счете майя имеется число 144, число же 16 в явном виде не встречается.

Таким образом, выявляется следующая картина: у восточных народов доминирует число 12, на западе – число 9, а на Руси – число 16. В начале повествования показан вывод фундаментального циклического числа 12, оно по отношению к числам 9 и 16 является базовым, серединой, истоком. Число 9 – это нижнее циклическое число, а число 16 – верхнее, этим достигается баланс с их мужеженскими началами, о дуальной целостности смотреть выше в «Выводе числа 12». Кратко пояснения к этим трем уникальным числам можно дать на языке математики:

$$\frac{9+12}{12+16} = \frac{3 \times 7}{4 \times 7} = \frac{9-12}{12-16} = \frac{9}{12} = \frac{12}{16} = \frac{3}{4};$$

$$9+12+16 = 37 = 1/0,(027) \approx \text{МБ}/1,4 = 37,0385528\dots;$$

$$144 = 9 \times 16 = 12 \times 12 = 16 \times 9 = 230,4/1,6;$$

$$52 + 7 + 16 = \frac{3}{4} \times 100, \text{ где}$$

$$\Sigma = 7 = 7 = 7 = 3 + 4 = 16 - 9.$$

К этим равенствам следует напомнить, что ~27 и ~37 земных дней составляют периоды обращения экватора и полюсов Солнца вокруг своей оси и что число 3 характеризует окружность, а число 4 – квадрат. Здесь же уместно вспомнить слова Тота из его «Божественного Пэмандра» [23, с. 72, 77]: «О люди земли, люди, рожденные и сделанные из элементов, но с духом Божественного Человека внутри вас, очнитесь от своего сна невежества! Будьте трезвы и вдумчивы. Поймите, что вашим домом является не земля, но Свет (подчеркнуто автором). Почему вы отдаёте себя смерти, если можете обрести бессмертие? Раскайтесь и *измените свой ум*. Уйдите из тьмы и разложения навеки. Приготовьтесь к подъёму через семь Колец и облагородьте свои души вечным Светом». Однако физика света весьма обширна, и здесь для нее не место и не время.

### Глава 5. Кратко о Науке Богов

Мера богов является одной из основополагающих мер Единой системы мер богов или теоретической метрологии. Эта наука призвана, с одной стороны, отражать физические законы сотворения мира, а с другой стороны, необходима для гармонизации жизнедеятельности людей с законами сотворения и конкретными особенностями развертывания Всевышнего при их жизни. Это значит, что люди должны подстраиваться не только под общие законы сотворения и изначальные (правильные) пропорции, и это первоочередное, но и под их настоящее проявление, поскольку даже основные меры подвержены некоторым изменениям, как и все фундаментальные физические константы, меры «плывут». Все имеющее причину меняется, не меняется лишь то, что не имеет причины, и это беспричинное только одно – Всевышний в своей целостности. Важным является понимание того, что в первую очередь необходимо устанавливать и поддерживать точность соответствия мер их реальным природным проявлениям, и уже на основании этого поддерживать точность сохранения эталонов и их дублирования. Сейчас же ситуация прямо противоположная. Эталоны сохраняются и дублируются с высочайшей точностью, но сами эталоны выбираются методом «научного тыка», т.е. без основополагающего научного обоснования. Это объясняется тем, что до сих пор в науке преобладает тенденция материалистического видения мира, и хотя эта тенденция естественна, но если ее не сдерживать, то она ведет к ускорению гибели людей. Материального видения, значит видения поверхностного, формального, рационального, начетнического, патриархального и т.п. И этому есть свое объяснение. Со временем происходит циклическая смена матриархата и патриархата, циклическая смена Дня и Ночи Великого Круга Земли (25 920). Сейчас как раз и происходит эта смена, наступает рассвет Дня (северный полюс оси вращения Земли переходит на сторону круга прецессии, обращенную к центру галактики), сознание людей начинает просветляться, и по оставленным нам богами подсказкам возрождается наука Первоистока. Прошедшая Ночь Великого Круга Огнем и Водой погубила расу богов (см., например, [27, с. 375, 393]), но, уходя, они оставили нам самое сокровенное – свою науку о сотворении мира.

В свою очередь теоретическая метрология является частью более общей науки. Отметим ее структуру.

У современной науки основным критерием является опыт, эксперимент, наука идет преимущественно от поверхностно-чувственного, от современного устойчиво проявленного состояния Всевышнего, иными словами в науке гипертрофировано развита материалистическая составляющая. От этого устойчиво-проявленного состояния возможен путь познания общих законов физики – это путь от сущего конца, от проявленного в настоящем состояния к началу, путь ретроспективы. Заключается этот путь в том, чтобы получаемые научные сведения «загонять» под некую общую теорию.



Теоретически возможно получить такую теорию, но практически это бесконечный поиск все новых и новых гипотез. Это путь от почек-листьев дерева по веточкам, ветвям, стволу к корню, в попытке найти то самое зернышко, из которого дерево и произросло, но зернышко уже развернулось в дерево, и его не видно. Остается только гадать, глядя на дерево: а какое же было у него зернышко? У этого пути множество листьев – научных сведений, и эти сведения объединяются веточками и ветвями в различные науки, которые, если смотреть со стороны листьев – научных фактов, то видно, что они разобщены, разрознены, ведь корень, если повезет – будет виден лишь в перспективе. И нет у этих наук единой систематизации, единого начала. Этот путь познания можно назвать наукой АН.

Существует другой путь – прямо противоположный, это путь от начала к концу, к настоящему, путь истинно теоретический. У этого пути критерием является не эксперимент, а логика, логика развертывания Всевышнего, развертывания из первого зернышка, которым является Первичная Точка. Теоретически идя по этому пути, можно рассчитать то развернутое состояние, которое имеется в настоящем, т.е. рассчитать все физические константы, все параметры солнечной системы и будет ли завтра дождь или нет. Но этот расчет-развертывание уже сделан и продолжает делаться – этот расчет-проект называется Вселенная, или в определенном смысле можно назвать саморазвивающимся Вселенским Компьютером, и повторить его никому не под силу, а только лишь Всевышнему на следующем Его Круге Проявления. Можно, конечно, попытаться выполнить расчет в приблизительном варианте, но чем выше будут требования к его точности, тем он будет более объемным, стремясь к бесконечности. Этот путь познания можно назвать наукой AN (совпадение с обозначением золотой пропорции AN случайное). Важной особенностью науки AN является ее единство, ее целостность, поскольку она исходит из единого целого, из понятия о Всевышнем. Это как раз то, чего так не хватает науке АН. Но целостность создает свои трудности. Так, трудность появляется при ее описании, поскольку описание предполагает некую законченность формы представления, значит, требуется разобщение целого, требуется фрагментирование. Выделенные же части получают неполноценными, и лишь их соединение придает им совершенную красоту.

Наука АН и наука AN по отдельности, как отмечено, имеют существенные недостатки, но эти недостатки наук можно снять. Верное решение, как всегда, находится посередине (для человека). Необходимо совместить два пути, две науки, применив известный метод герменевтического круга. Тогда получится третий путь – это путь попеременного обращения к началу и к концу (настоящему), путь совместного обращения к науке AN и науке АН, назовем этот путь наукой ANH. Получилась триада наук. Такое деление на три науки довольно условно, поскольку эта триада есть единая наука, но наука трехглавая. Понятно, что для развития единой науки, науки ANH, необходимо развитие науки AN до уровня науки АН, чтобы AN и АН поддерживать в сбалансированном состоянии. Примером того, что наука ANH может давать важные результаты, является описанное выше исследование по МБ (МЯ). В этом исследовании применен метод герменевтического круга с использованием современных научных сведений, с одной стороны, и с использованием восстанавливаемых знаний богов о Всевышнем и законах его проявления, с другой.

Существование науки AN, науки о сотворении мира, указывает на существование науки IN, науки о гибели мира. По сути обе эти науки – это одна наука о трансформации Всевышнего (подобно трансформации человека: рождение, жизнь, смерть и послесмертие). Думающих о выживании более должна занимать наука AN, но при этом «memento mori».

Наша урбанистическая цивилизация начала развиваться в период 9 500 – 5 500 гг. до н.э. (см., например, [27, с. 265, 229]) **на основе науки богов**. Содержание науки утратилось, но остались ее символы, которые помогут воссоздать науку богов и тем самым восстановить культурную основу нашей цивилизации для прекращения ее самоуничтожения, порождаемого безудержным развитием экономики и техники. Как

видно, наука богов не является чем-то мистическим, мистика вокруг нее порождается людскими пороками, в первую очередь невежеством и алчностью. Для произрастания пороков есть почва, «тонкое место» науки – это то, что она видится не глазозрением, а умозрением, поэтому-то ее нельзя отделять от науки АН. Поддержанием единства науки раньше занимались боги и их последователи, увековечивая знания единой науки в каменных сооружениях, системах счета, священных писаниях, религиях, мифах, играх.

### Приложение 1

#### 1. Размеры базовой модели Великой пирамиды на плато Гизы:

угол наклона апофемы ( $\angle \beta_1 \equiv MB^\circ$ )	$= \arctg 4/\pi = \arccos 0,6176678\dots$	$= 51,8539740^\circ\dots$ ,
угол отклонения апофемы ( $\angle \gamma_1$ )	$= \arctg \pi/4$	$= 38,1460259^\circ\dots$ ,
сторона основания ( $L_1$ )	$= \sqrt{2} \times \pi \times MB \text{ м}$	$= 230,3811364\dots \text{ м} =$ $= 2 \times 115,1905682\dots \text{ м},$
диагональ основания ( $D_1$ )	$= 2 \times \pi \times MB \text{ м}$	$= 325,8081276\dots \text{ м} =$ $= 2 \times 162,9040638\dots \text{ м},$
высота ( $H_1$ )	$= \sqrt{8} \times MB \text{ м}$	$= 146,6651866\dots \text{ м},$
апофема ( $A_1$ )	$= \sqrt{8 + \pi^2/2} \times MB \text{ м}$	$= 186,4927450\dots \text{ м},$
угол наклона ребра ( $\angle \beta_{R1}$ )	$= \arctg \sqrt{8}/\pi$	$= 41,9972239^\circ\dots$ ,
угол отклонения ребра ( $\angle \gamma_{R1}$ )	$= \arctg \pi/\sqrt{8}$	$= 48,0027760^\circ\dots$ ,
ребро ( $R_1$ )	$= \sqrt{8 + \pi^2} \times MB \text{ м}$	$= 219,1994775\dots \text{ м},$
угол грани нижний ( $\angle \beta_{G1}$ )	$= \arctg \sqrt{16/\pi^2 + 1} = \arctg 1,6189931\dots$	$= 58,2977090^\circ\dots$ ,
угол грани верхний ( $\angle \gamma_{G1}$ )	$= \arctg 1/\sqrt{16/\pi^2 + 1} = \arctg 0,6176678\dots$	$= 31,7022909^\circ\dots$

#### 2. Реальные размеры трех пирамид Гизы по данным Ф. Петри:

Средн. значение	1-я пирамида	2-я пирамида	3-я пирамида	Источник данных
Сторона, м	230,34752	215,26246	105,50144	[26]
Высота, м	146,7104	143,8656	65,123568	[7, с. 344, 362, 363]
$\angle \beta_i$ , град.	51,866	53,1(6)	51,0	

#### 3. Реальные осевые расстояния между центрами оснований трех пирамид Гизы по данным Ф. Петри:

Расстояние по оси	1 – 2	2 – 3	1 – 3	Источник данных
N – S (ось y), м	353,86264	385,32816	739,1908	[26]
E – W (ось x), м	334,41132	240,03508	574,4464	

### Приложение 2

Прямоугольный треугольник  $\sqrt{1} : \sqrt{2} : \sqrt{3}$  – основа тел Платона.

$\Delta\sqrt{1} : \sqrt{2} : \sqrt{3}$  является фундаментальным, поскольку на его основе строятся 5 тел Платона. В треугольнике меньший угол  $\angle \gamma = \arctg 1/\sqrt{2} = 35,26438968^\circ\dots$  и больший угол  $\angle \beta = \arctg \sqrt{2} = 54,73561031^\circ\dots$ , а  $\angle \beta - \angle \gamma = \arcsin 1/3 = 19,4712206^\circ\dots \equiv PL^\circ$  – этот угол определяет  $\Delta\sqrt{1} : \sqrt{2} : \sqrt{3}$ , значит и определяет 5 тел Платона, поэтому величину  $PL^\circ$  можно назвать угловой константой тел Платона. В тетраэдре треугольник представлен: больший катет треугольника – это половина ребра тетраэдра, гипотенуза – радиус

описанной сферы; в кубе: меньший катет – половина ребра, гипотенуза – радиус описанной сферы и т.д.

$$\begin{aligned} \text{Числовые маркеры } PL: \quad PL &\approx 19, (4) = \frac{6}{16} \times 51,85(185) = \frac{7000}{360} \approx 19,44 = \frac{6}{16} \times 51,84 = \\ &= \frac{90}{1, (6)^3} = 90 \times 60^3 \times 10^{-6} \approx \frac{e}{\pi} \times \frac{360}{16} = 19,4682595... \approx 20 - \frac{\pi}{6} = 19,47640122... \approx \frac{81}{4,16} = \frac{90^2}{52 \times 8} = \\ &= 19,471(153846). \text{ Также } PL \approx \frac{100}{72} \times (7 \times 2 + 1/MB) = \frac{100}{25920} \times \left( 5040 + \frac{360}{MB} \right) = 19,471229... = \\ &= \arcsin 1/3 + 52 \times 7 \times 0,0050012396''... \approx \frac{10,06}{54} + \frac{100}{MB} = 19,4712213... \approx \frac{162}{13} \times \frac{360}{L_1} = 19,47274814... \end{aligned}$$

$\Delta\sqrt{1} : \sqrt{2} : \sqrt{3}$  и  $\Delta 3 : 4 : 5$  связаны простым геометрическим построением. Возьмем пирамиду, у которой треугольником ребра является  $\Delta 3 : 4 : 5$ , так чтобы высота пирамиды была равна 3, тогда треугольником апофемы будет  $\Delta 3 : \sqrt{8} : \sqrt{17}$ . Переместим катет  $\sqrt{8}$  параллельно вверх на  $1/3$  часть высоты пирамиды, и тем самым будет получен  $\Delta\sqrt{1} : \sqrt{2} : \sqrt{3}$ .

### Ссылки

1. Селим Р. Египетская книга мертвых. /перев. с англ./ Омега, Москва, 2005, стр. 11.
2. Уокер Б. Женская энциклопедия. Символы, сакралии, таинства. /перев. с англ./ Астрель, Москва, 2005.
3. Пути обретения бессмертия: Даосизм в исследованиях и переводах Е.А. Торчинова. Азбука-классика, Петербургское Востоковедение, Санкт-Петербург, 2007.
4. Гране М. Китайская мысль от Конфуция и Лаоцзы. /перев. с франц./ Алгоритм, Москва, 2008, стр. 64, 65.
5. Томпкинс П. Тайны мексиканских пирамид. Руины исчезнувших цивилизаций. /перев. с англ./ Центрполиграф, Москва, 2007, стр. 339.
6. Томпкинс П. Тайны Великой пирамиды Хеопса. Загадки двух тысячелетий. С Приложением Л.К. Степкини. Комментарий по взаимосвязи древних измерений и Великой пирамиды. /перев. с англ./ Центрполиграф, 2005.
7. Шох Р., Макнэлл Р. Мистерия пирамид. Тайна Сфинкса. /перев. с англ./ Эксмо, Москва, 2007.
8. Белозеров С.Е. Пять знаменитых задач древности. Издательство Ростовского университета, Ростов-на-Дону, 1975, стр. 9.
9. Элфорд А. Пирамида тайн. /перев. с англ./ Вече, Москва, 2009.
10. Thom A. Megalithic Sites in Britain. Glarendon Press, London, 1967.
11. Thom and Thom. Megalithic Remains in Britain and Brittany. Oxford University Press, Oxford, 1978. Chapters 3, 4, 6, 7 & 8.
12. Найт К., Батлер А. Цивилизация №1. /перев. с англ./ Эксмо, Москва, 2008.
13. Аллен К.У. Астро-физические величины. /перев. с англ./ Мир, Москва, 1977.
14. Жаров В.Е. Сферическая астрономия. Век-2, Москва, 2006.
15. <http://maps.google.com/maps>.
16. <http://www.touregypt.net/featurestories/sphinx1.htm>.
17. Газета «Аргументы и факты», №10, 2008, <http://www.aif.ru>.
18. <http://www.lah.ru/text/temarov/mystery.htm>.
19. Коттерелл М. Сверхбоги. /перев. с англ./ Эксмо, Москва, 2004, Вкладка (цветная) 8.
20. Джилберт Э., Коттерелл М. Тайны майя. /перев. с англ./ Вече, Москва, 2001.

21. Бьювэл Р., Хэнкок Г. Загадка Сфинкса: Послание хранителей цивилизации. /перев. с англ./ Эксмо, Москва, 2009.
22. Ситчин З. Потерянные царства. /перев. с англ./ Эксмо, Москва, 2006, стр. 127-129.
23. Холл М.П. Энциклопедическое изложение масонской, герметической, каббалистической и розенкрейцеровской символической философии. /перев. с англ./ Астрель, Москва, 2004.
24. <http://www.vixri.ru/?p=422>.
25. <http://d-astra.chat.ru/Almanah/Santii/SantiiPeruna.html>
26. Legon J.A.R. The Plan of the Giza Piramids. Archaeological Reports of the Archaeology Society of Staten Island, vol.10, №1, New York, 1979, см. Приложение, <http://www.legon.demon.co.uk/gizaplan.htm>.
27. Коллинз Э. Падшие ангелы: Запретное наследие древней расы. /перев. с англ./ Эксмо, Москва, 2008.